

ელგუჯა კუბანეიშვილი

ვეივლეტ-გარდაქმნის საფუძველები

დამხმარე სახელმძღვანელო

თბილისი

სახელმძღვანელო განცუთვნილია საინჟინრო და ეკონომიკური პროფილის სტუდენტებისათვის, მაგისტრანტებისა და დოქტორანტებისათვის. სახელმძღვანელო წარმოადგენს შესავალს ვეივლებ-გარდაქმნაში, სადაც განხილულია ვეივლებ-გარდაქმნის არსი, მისი გამოყენების პრაქტიკული ასპექტები, რომლებიც ორიენტირებული არიან დროზე დამოკიდებული მონაცემების დამუშავებისათვის.

რეცენზებები:

ასოცირებული პროფესორი პ. ნონიკაშვილი
ასოცირებული პროფესორი პ. ფალაგა

რედაქტორი მ. იაშვილი
კომპიუტერული უზრუნველყოფა ლ. ყუბანეიშვილი
ქალალდის ზომა $60 \times 84 \frac{1}{6}$.
ნაბეჭდი თაბახი 4,2 შეკვეთა 63

გამომცემლობა
შ.ს. „თობალისი“, 2009წ

შესაბალი

ვეივლეტ-გარდაქმნა წარმოადგენს დროზე დამოკიდებული ფუნქციების, კერძოდ სიგნალების (დროითი მწკრივების) წრფივი გარდაქმნის განსაკუთრებელ სახეს, რომლის საშუალებითაც შესაძლებელია გამოვავლინოთ სიგნალის ისეთი ლოკალური თავისებურებები, რომელთა გამოვლენა ტრადიციულ ფურიეს და ლაპლასის გარდაქმნებით შეუძლებელია. განსაკუთრებით ეს ეხება არასტაციონალურ შემთხვევით პროცესებს, რომელთა შემადგენელი კომპონენტები (ამპლიტუდა, სიხშირე, ფაზა) იცვლებიან დროსა და სივრცეში.

ვეივლეტ-გარდაქმნა ბოლო ათეული წლის განმავლობაში ჩამოყალიბდა როგორც ახალი სამეცნიერო მიმართულება. ტერმინი „Wavelet“ ინგლისურიდან ითარგმნება, როგორც მოკლე ტალღა. „მოკლეს“ ქვეშ იგულისხმება ის, რომ ვეივლეტის ფუნქციას გააჩნია სასრულო სიგანე. სიტყვა „ტალღა“ ასახავს იმ ფაქტს, რომ ვეივლეტ-ფუნქცია რხევადია. პირველად ვეივლეტის ცნება შემოიტანეს ჟმორლებამ და ა-გროსმანმა 1984წ, როცა ისინი იკვლევდნენ სიგნალების ჯგუფს ბაზისური ფუნქციით, რომელსაც ვეივლეტი უწოდეს. ვეივლეტები წარმოადგენენ გარკვეული ფორმის მათემატიკური ფუნქციების ერთობლიობის განზოგადოებულ დასახელებას, რომლებიც ლოკალიზებული არიან როგორც დროით, ასევე სიხშირულ არეში.

გაზვიადების გარეშე შეგვიძლია აღვნიშნოთ, რომ ვეივლეტებმა მოახდინეს არასტაციონარული შემთხვევითი პროცესების დამუშავების თეორიასა და პრაქტიკაში მნიშვნელოვანი გარდვევა. დღეისათვის ვეივლეტ-გარდაქმნა ძირითადად გამოიყენება დროზე დამოკიდებული პროცესების (სიგნალი, დროითი მწკრივი) დამუშავებისათვის. გარდა ამისა, მისი გამოყენება

შესაძლებელია მრავალ სფეროში: მედიცინასა და ბიოლოგიაში, ასტროფიზიკაში, გეოფიზიკაში, ქვანტურ მექანიკაში და ბევრ სხვა მიმართულებაში.

უნდა შევნიშნოთ, რომ ვეივლეტ-გარდაქმნა არ უნდა განვიხილოთ, როგორც სიგნალების დამუშავების უნივერსალური ტექნილოგია. ვეივლეტების შესაძლებლობები ჯერ კიდევ ბოლომდე არ არის შესწავლილი, მაგრამ ეს იმას არ ნიშნავს, რომ ვეივლეტების განვითარება მომავალში მთლიანად გამორიცხავს ინფორმაციის დამუშავებისა და ანალიზის ტრადიციულ მეთოდებს.

მიუხედავად იმისა, რომ დღეისათვის ვეივლეტ-გარდაქმნაზე საზღვარგარეთ უამრავი სტატიები, მონოგრაფიები და სახელმძღვანელოებია შექმნილი. საქართველოში ქართულ ენაზე დაწერილი სახელმძღვანელო დეფიციტს წარმოადგენს. წარმოდგენილი სახელმძღვანელო პირველ რიგში საინჟინრო და ეკონომიკური პროფილის სტუდენტებისათვის არის განკუთვნილი, თუმცა მათი გამოყენება შეუძლიათ ინჟინრებს, ეკონომისტებს და ყველა იმ პიროვნებებს, რომლებიც დაკავებული არიან მონაცემების დამუშავების საკითხებით.

დღეისათვის არსებობს ვეივლეტ-გარდაქმნის სპეციალიზირებული პროგრამული პაკეტები, რომლებიც ჩართულია კომპიუტერული მათემატიკის ძირითად სისტემებში (Matlab, Mathematica, Mathcad და სხვა).

1. ვურიეს ბარდაქმნა

ნებისმიერი დროზე დამოკიდებული $x(t)$ ფუნქცია
(შემთხვევითი პროცესი, სიგნალი, დროითი მწკრივი)
შეგვიძლია წარმოვადგინოთ როგორც ჯამი $y(t)$
ბაზისური ფუნქციის ნამრავლისა c_k კოეფიციენტებზე

$$x(t) = \sum_{k=-\infty}^{\infty} c_k y(t). \quad (1.1)$$

რადგან $y(t)$ ბაზისური ფუნქცია ფიქსირებულია
როგორც გარკვეული სახის ფუნქცია, ამიტომ მხოლოდ
 c_k კოეფიციენტები შეიცავენ $x(t)$ ფუნქციაზე
ინფორმაციას.

დროზე დამოკიდებული ფუნქციები უშუალოდ
გვაძლევენ დროში ფუნქციის კონკრეტულ
მნიშვნელობებს. მაგრამ, თუ გვაინტერესებს სხვა
ინფორმაცია, მაგალითად სისშირეზე, მაშინ უნდა
მოვახდონოთ ფუნქციის გარდაქმნა. საზოგადოდ
ფუნქციის მიმართ ნებისმიერი მათემატიკური გარდაქმნა
გამოიყენება იმისათვის, რომ სიგნალიდან მივიღოთ
დამატებითი ინფორმაცია, რომელიც საწყის სიგნალში
უშუალოდ არ ჩანს. იმისათვის, რომ გავაცნობიეროთ
ვეივლეტ-გარდაქმნის არსი საჭიროა განვიხილოთ
ფურიეს გარდაქმნა, რადგან ის მჭიდროთ არის
დაკავშირებული ვეივლეტ-გარდაქმნასთან.

1.1. ფურიეს გარდაქმნის არსი

მრვალი ათეული წლის განმავლობაში რეალური
ფიზიკური პროცესების და მათ შორის შემთხვევითების
დამუშავების ძირითად საშუალებას წარმოადგენდა
ჰარმონიული ანალიზი, რომლის მათემატიკურ
საფუძველს წარმოადგენდა ფურიეს გარდაქმნა. 1882 წ.
ფრანგმა მათემატიკოსმა ფურიემ აჩვენა, რომ ნებისმიერი

პერიოდული ფუნქცია შეიძლება წარმოვადგინოთ კომპლექსური ექსპონენციალური ფუნქციების უსასრულო ჯამის სახით. ამრიგად, პილბერტის L_2 სივრცეში თუ განვიხილავთ რაიმე $x(t)$ პერიოდულ ფუნქციას $x(t) \in L_2[0,2\pi]$, მაშინ ის შეგვიძლია წარმოვადგინოთ ფურიეს მწკრივის სახით, სადაც $y(t)$ ბაზისად აღებულია კომპლექსური ექსპონენტია. ე.ო. (1.1) გამოსახულება მიიღებს შემდეგ სახეს:

$$x(t) = \sum_{k=-\infty}^{\infty} c_k \exp\{jkt\},$$

$$\text{სადაც } c_k = \frac{1}{2\pi} \int_0^{2\pi} x(t) \exp\{-jkt\} dt.$$

ფურიეს მწკრივისათვის სამართლიანია პარსაველის ტოლობა:

$$\frac{1}{2\pi} \int_0^{2\pi} |x(t)|^2 dt = \sum_{k=-\infty}^{\infty} |c_k|^2$$

და ის განიხილება როგორც ენერგიის შენახვის კანონი. დირიხლევს პირობის თანახმად ფურიეს მწკრივი თანაბრად კრებადია $x(t)$ ფუნქციის მიმართ.

შემდგომში ფურიეს მწკრივი განზოგადოებული იქნა არაპერიოდული პროცესებისთვის. კერძოთ, თუ განვიხილავთ უწყვეტ სტაციონარულ შემთხვევით პროცეს $x(t)$, მაშინ ნებისმიერი $x(t) \in L_2(R)$ ფუნქციისათვის სამართლიანია ფურიეს გარდაქმნა

$$X(w) = \int_{-\infty}^{\infty} x(t) \exp\{-jwt\} dt \quad (1.2)$$

რომელსაც დროითი ფუნქცია $x(t)$ გადაყავს $X(w)$ სიხშირულ ფუნქციაში და მას ფურიეს პირდაპირი გარდაქმნა (ან სპექტრი) ეწოდება. ფურიეს გარდაქმნა არსებობს თუ სრულდება შემდეგი უტოლობა:

$$\int_{-\infty}^{\infty} |x(t)| dx < \infty .$$

ფურიეს გარდაქმნა შექცევადია, ე.ო. მას გააჩნია უკავ გარდაქმნა:

$$x(t) = \frac{1}{2\pi} \int_{-\infty}^{\infty} X(w) \exp\{jkt\} dw ,$$

რომელიც უზრუნველყოფს საწყისი $x(t)$ ფუნქციის აღდგენას. ფურიეს გარდაქმნა უნიტარულია, ე.ო.

$$\int_{-\infty}^{\infty} |x(t)|^2 dt = \frac{1}{2\pi} \int_{-\infty}^{\infty} |X(w)|^2 dw \quad (1.3)$$

და მას პარსაველის იგივეობა ეწოდება, რომელიც გვიჩვენებს ენერგიის შენახვას, როდესაც ხდება დროით სივრციდან სიხშირულ სივრცეში გადასვლა. (1.3) ტოლობის მარცხენა მხარეს არსებულ ინტეგრალს ეწოდება $x(t)$ სიგნალის ენერგია, ხოლო მარჯვენა მხარეს მყოფ გამოსახულებას—ენერგიის სპექტრული სიმკვრივე. ე.ო.

$$E(w) = \frac{1}{2\pi} |X(w)|^2 . \quad (1.4)$$

ფურიეს გარდაქმნა ძირითადად გამოიყენება სტაციონარული შემთხვევითი პროცესებისათვის, სადაც სიხშირული კომპონენტები დროში არ იცვლებიან და აქედან გამომდინარე, სპექტრული ანალიზის დროს არ გვჭირდება ინფორმაცია დროზე, რადგან სიგნალში არსებული ყველა სიხშირე არსებობს მთელი დროის მანძილზე.

განვიხილოთ (1.2) ტოლობა. $x(t)$ სიგნალი მრავლდება w სიხშირის მქონე ექსპონენტაზე და შემდეგ ხდება ინტეგრირება დროის მთელ ინტერვალში. უნდა შევნიშნოთ, რომ (1.2) გამოსახულებაში ექსპონენციალური წევრი ეილერის ფორმულის თანახმად შეგვიძლია წარმოვადგინოთ შემდეგნაირად:

$$\exp\{jw t\} = \cos(wt) + j \sin(wt)$$

ე.ი. საწყისი $x(t)$ სიგნალი მრავლდება კომპლექსურ გამოსახულებაზე, რომელიც შედგება W სიხშირის სინუსებისა და კოსინუსებისაგან. შემდეგ ხდება ამ ნამრავლების ინტეგრირება ანუ აჯამვა. თუ მიღებულ შედეგს გააჩნია დიდი მნიშვნელობა, მაშინ W სიზ ხშირე $x(t)$ სიგნალში მნიშვნელოვნად არის წარმოდგენილი. ხოლო, თუ ინტეგრალის მნიშვნელობა მცირეა (ნულის ტოლია ან ნულთან ახლოს მდგომი სიდიდე), მაშინ W სიხშირე სიგნალში უმნიშვნელოა ან საერთოდ არ გააჩნია მას.

(1.2) გამოსახულებაში ინტეგრირება ყოველი W სიხშირის მნიშვნელობისათვის ხდება უსასრულო საზღვრებში, მთელი დროითი დერძის გასწვრივ. ამიტომაა, რომ ამა თუ იმ სიხშირის არსებობის დროის ფაქტორს არავითარი მნიშვნელობა არ გააჩნია, რადგან სიხშირის წილი საერთო ჯამში მაინც იქნება ერთნაირი.

1.3. ფურიეს გარდაქმნის დადებითი და უარყოფითი თვისებები

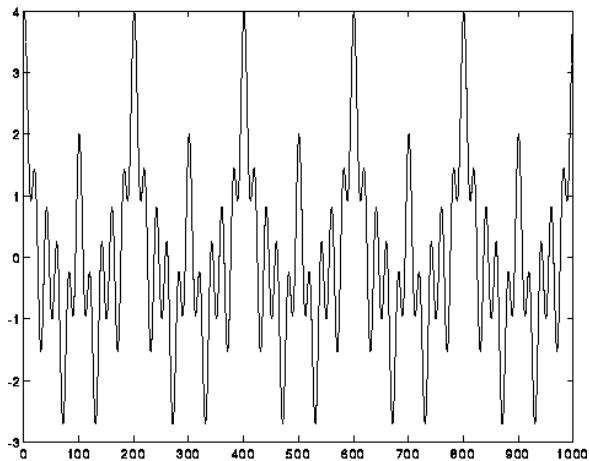
როგორც ავღნიშნეთ, ფურიეს გარდაქმნა გვაძლევს სიხშირულ ინფორმაციას, რომელსაც სიგნალი შეიცავს, თუმცა დროის რომელ მომენტში წარმოიშვა ეს სიხშირე და როდის დამთავრდა ჩვენთვის უცნობია. თუ სიგნალი სტაციონარულია, მაშინ ასეთი ინფორმაცია არ გვჭირდება, რადგან სიხშირეები დროში არ იცვლებიან, ე.ი. ისინი სიგნალში არსებობენ მთელი დროის მანძილზე.

დაუშვათ, გვაქვს ორი სხვადასხვა სიგნალი, რომელთა სპექტრული მახასიათებლები ერთნაირია. ერთ-ერთი სიგნალი (ნახ. 1.1), რომელიც შედგება 10, 25, 50 და 100ჰ�� სიხშირეებისაგან

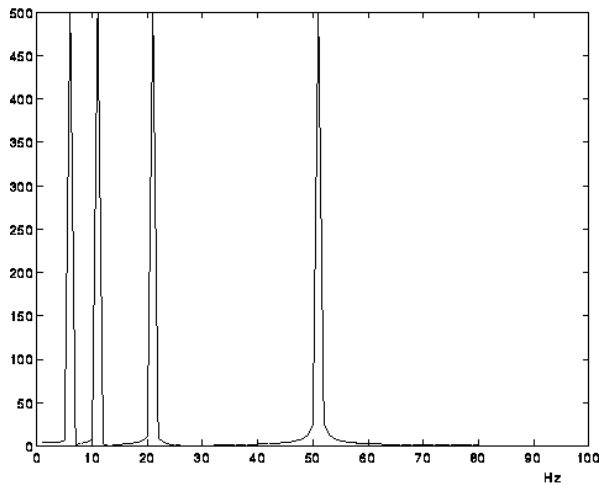
$$x(t) = \cos(2\pi 10t) + \cos(2\pi 25t) + \cos(2\pi 50t) + \cos(2\pi 100t)$$

სტაციონარულია, რადგან ეს სიხშირეები მთელი დროის განმავლობაში არსებობენ და დროში არ იცვლებიან. ამ სიგნალის ფურიეს გარდაქმნა ნაჩვენებია ნახ. 1.2, სადაც

ოთხივე სისტემის სპექტრი გაფილდ არის
წარმოჩენილი.

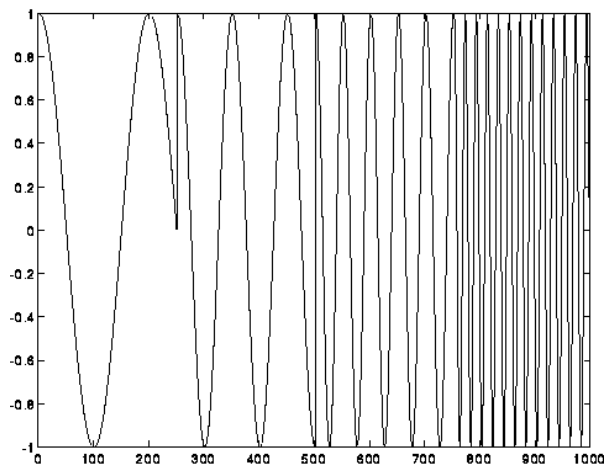


ნაბ. 1.1

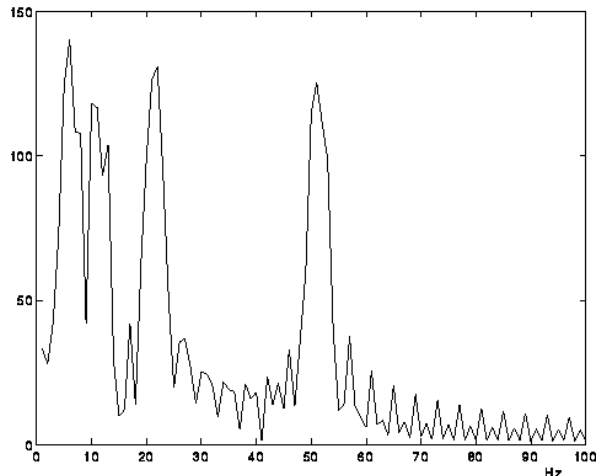


ნაბ. 1.2

ეხლა განვიხილოთ მეორე სიგნალი, რომელიც შედგება იგივე ოთხი სიხშირისაგან, რომლებიც დროში თანმიმდევრულად არიან წარმოდგენილნი: 0-300 მლწმ ინტერვალში სიგნალის სიხშირეა 100 ჰც, 300-600 მლწმ ინტერვალში – 50 ჰც. 600-800 მლწმ ინტერვალში – 25 ჰც და ბოლო ინტერვალში – 10 ჰც. ასეთი სიგნალი, რომელიც არასტაციონარულია წარმოდგენილია ნახ. 1.3-ზე და მისი ფურიეს გარდაქმნა ნაჩვენებია ნახ. 1.4-ზე.



ნახ. 13



ნახ. 1.4

როგორც ნახ. 1.4 ჩანს, სიგნალის ოთხივე სიხშირის სპექტრი, ისევე, როგორც სტაციონარული სიგნალის დროს, მკაფიოდ არიან გამოსახულნი, მაგრამ მათ შორის არსებობენ „ცრუ“ სიხშირეები, რომელთაც გააჩნიათ მცირე ამპლიტუდა. ეს გამოწვეულია იმით, რომ სიგნალში სიხშირეები იშვიათად იცვლებიან. გარდა ამისა, ადვილი შესამჩნევია, რომ მაღალი სიხშირეების კომპონენტებს გააჩნიათ მაღალი ამპლიტუდა ვიდრე დაბალ სიხშირიან კომპონენტებს. ეს იმიტომ ხდება, რომ მაღალი სიხშირეების ხანგრძლიობა (300მლწმ) მეტია, ვიდრე დაბალი სიხშირეების ხანგრძლიობა (200მლწმ).

ამრიგად, თუ შევადარებთ ერთი და იგივე სიხშირეების მქონე სტაციონარულ და არასტაციონარულ სიგნალებს, შეგვიძლია დავასკვნათ, რომ ორივე შემთხვევაში სპექტრები მკაფიოდ არიან წარმოდგენილნი იმ განსხვავებით, რომ არასტაციონარული სიგნალის დროს სპექტრებს გააჩნიათ სხვადახვა ამპლიტუდა და მათ შორის არსებობს დაბალი ამპლიტუდის ცრუ

სიხშირეები, მაშინ როდესაც სტაციონარული სიგნალის შემთხვევაში სპექტრების ამპლიტუდები ერთნაირია და ცრუ სიხშირეები არ არსებობენ. გარდა ამისა, ფურიეს გარდაქმნა კარგად არჩევს სიგნალში არსებულ სიხშირეებს, მაგრამ უძლურია განსაზღვროს დროს რომელ მომენტშია წარმოშობილი ეს სიხშირეები. აქედან გამომდინარე, არასტაციონარული სიგნალები-სათვის ფურიეს გარდაქმნა შეიძლება გამოვიყენოთ იმ შემთხვევაში, როცა ჩვენ გვაინტერესებს ინფორმაცია მხოლოდ სიხშირეებზე და არა მათ წარმოშობის შესახებ. სხვა შემთხვევაში, ფურიეს გარდაქმნის გამოყენება კერძოდ, არასტაციონარული სიგნალებისათვის მიზანშეუწონელია.

ჩამოვაყალიბოთ ფურიეს გარდაქმნის დადებითი თვისებები:

—ფურიეს გარდაქმნა ნებისმიერ სიგნალს შლის სხვადასხვა სიხშირის ელემენტების რხევებად;

—ფურიეს გარდაქმნა წარმოადგენს ორთოგონალურ ოპერატორს ანუ ისეთ ოპერატორს, რომლის უკუ გარდაქმნა ემთხვევა კომპლექსურად შეუდლებული ოპერატორის გამოსახულებას;

—ფურიეს გარდაქმნის არეს წარმოადგენს L_2 სივრცე, რომელსაც მიეკუთვნება ბუნებაში არსებული დროზე დამოკიდებული მრავალი რეალური ფიზიკური პროცესი;

—პრაქტიკაში ადვილია მისი გამოყენება. ფურიეს სწრაფი გარდაქმნის ალგორითმას შექმნამ კიდევ უფრო ეფექტური გახდა მისი გამოყენება პრაქტიკაში.

ფურიეს გარდაქმნას ძირითადი ნაკლოვანებებია:

—ფურიეს გარდაქმნა თუნდაც ერთი მოცემული სიხშირისათვის მოითხოვს პროცესის ცოდნას არა მხოლოდ წარსულში, არამედ მომავალშიც, რაც პრაქტიკულად განუხორციელებადია;

—რადგან პრაქტიკულად სიგნალის დაშლის შედეგად მიღებული პარმონიკების რაოდენობა ან სპექტრი შეზღუდულია, ამიტომ სიგნალის აღდგენა

ფურიეს უპუ გარდაქმნით თეორიულად, მითუმებეს პრაქტიკულად, შეუძლებელია, კერძოდ გიბსის ეფექტის გამო;

–ფურიეს გარდაქმნის ბაზისურ ფუნქციას წარმოადგენს მხოლოდ ერთი $\exp\{j\omega t\}$ ფუნქცია, რომელიც განსაზღვრულია $(-\infty, \infty)$ ინტერვალში და გააჩნია დროში უცვლელი პარამეტრები;

–ფურიეს გარდაქმნის ბაზისის ძირითად ნაკლოვანებას წარმოადგენს მისი ცუდი ლოკალიზაცია დროით სივრცეში, რადგან მისი ბაზისური ფუნქციის მოდული ყველა $t \in R$ -სათვის ერთის ტოლია. აქედან გამომდინარე, ბაზისის ცუდი ლოკალიზაცია დროის კონკრეტულ მომენტებში არ იძლევა სისშირული მახასიათებლების განსაზღვრის საშუალებას;

–არასტაციონარული პროცესებისათვის, სადაც სისშირეები დროში ცვალებადი არიან, ფურიეს გარდაქმნის გამოყენება მიზანშეუწონელია.

13. ფურიეს ფანჯრისეული გარდაქმნა

როგორც ავდიოშეთ, არასტაციონარული პროცესებისათვის ფურიეს გარდაქმნა შეიძლება გამოვიყენოთ იმ შემთხვევაში, როცა გვაინტერესების მხოლოდ სისშირული ინფორმაცია, ხოლო სპექტრული კომპონენტების წარმოშობის დრო არ გვაინტერესება. თუ საჭიროა სისშირული მდგენელების დროითი ლოკალიზაციაც, მაშინ საჭიროა მივმართოთ სიგნალის სისშირულ-დროით წარმოდგენას, რასაც ნაწილობრივ იძლევა ფურიეს ფანჯრისეული (მოკლემაშტაბიანი) გარდაქმნა.

დაუშვათ არასტაციონარული პროცესი უბან-უბან სტაციონარულია, მაშინ შეგვიძლია გამოვიყენოთ ვიწრო

ფანჯარა იმისათვის, რომ მის შიგნით სიგნალი იყოს სტაციონარული. ასეთმა მიღებამ მიიღო ფურიეს ფანჯრისეული გარდაქმნის სახელწოდება. ამ შემთხვევაში სიგნალი იყოფა ინტერვალებად (ფანჯრებად), რომლის ფარგლებში სიგნალი ითვლება სტაციონარულად. ამისათვის გამოიყენება ფანჯრის ფუნქცია W , რომლის სიგანე ფანჯრის სიგანის ტოლია. ფანჯრის ფუნქცია და სიგნალი გადამრავლდებიან. თუ ფანჯრის ფუნქცია $\tilde{w}(t)$ ერთგულოვანი სიმაღლის სწორკუთხედია, მაშინ სიგნალი არ შეიცვლება. სხვა შემთხვევაში სიგნალის შეჯერება ხდება ფანჯრის ფუნქციასთან. შემდეგ ხდება ამ ნამრავლის ფურიეს გარდაქმნა. შემდეგ ბიჯზე ხდება ფანჯრის წანაცვლება რაიმე t დროით. წანაცვლებული ფანჯრის ფუნქცია კვლავ გადამრავლდება სიგნალზე, ხდება მისი ფურიეს გარდაქმნა და ა.შ. პროცედურა გრძელდება სიგნალის ბოლომდე.

ფურიეს ფანჯრისეული გარდაქმნა მათემატიკურად შეგვიძლია წარმოვადგინოთ შემდეგნაირად:

$$X(w,t) = \int_{-\infty}^{\infty} x(t) w(t-t) \exp\{-j\omega t\} dt.$$

ნებისმიერი t და W -ისათვის განისაზღვრება ფურიეს გარდაქმნა და ვდებულობთ სიგნალის სიხშირულ-დროით გარდაქმნას. ფურიეს ფანჯრისეული გარდაქმნის პროცედულის საფუძველს წარმოადგენს ე.წ. გეიზენბერგის განუსაზღვრელობის პრინციპი, რომლის თანახმად შეუძლებელია მივიღოთ სიგნალის სიხშირულ-დროითი წარმოდგენა ნებისმიერი სიზუსტით ანუ ერთდროულად შეუძლებელია სიხშირისა და დროის გაზომვა. ერთადერთი რაც შეგვიძლია ვიცოდეთ ეს არის სიგნალის დროითი ინტერვალები, სადაც არსებობენ გარკვეული სიხშირის ზოლები და არა ცალკეული სიხშირები. ამ პრობლემას გარჩევადობა ეწოდება.

ამრიგად, ფურიეს გარდაქმნის დროს არ არსებობს გარჩევადობის პრობლემა სიხშირულ არეში. ანალოგურად, არ არსებობს დროითი გარჩევადობის

პრობლემა სიგნალის დროითი წარმოდგენის დროს, რადგან დროის ნებისმიერ მომენტში ცნობილია სიგნალის ზუსტი მნიშვნელობა.

ფურიეს ფანჯრისეული გარდაქმნის დროს ფანჯარას გააჩნია სასრულო სიგანე, ფარაგს მხოლოდ სიგნალის ნაწილს და ამიტომ სიხშირული გარჩევადობა უარესდება. გაუარესება იმას ნიშავს, რომ არ გაგვაჩნია ინფორმაცია სიგნალში ცალკეული სიხშირეების შესახებ, რადგან ცნობილია მხოლოდ სიხშირული ზოლები. თუ ავიდებთ უსასრულო სიგრძის ფანჯრის სიგანეს, მაშინ მთლიანად იკარგება დროითი ინფორმაცია და ფურიეს ფანჯრისეული გარდაქმნის მაგივრად ვდებულობთ წევულებრივ ფურიეს გარდაქმნას. ამრიგად, რაც უფრო მცირეა ფანჯრის სიგანე, მით უკეთესია დროითი გარჩევადობა, მაგრამ ცუდია სიხშირული გარჩევადობა და პირიქით. გარდა ამისა, რაც უფრო ვიწროა ფანჯრის სიგანე, მით უფრო სამართლიანია დაშვება ფანჯრის არეში სიგნალის სტაციონარობის შესახებ.

ფურიეს ფანჯრისეული გარდაქმნის გამოყენებისას ხშირად წამოიჭრება კითხვა: როგორი სახის ფანჯარა უნდა გამოვიყენოთ? ვიწრო ფანჯარა უზრუნველყოფს კარგ დროით გარჩევადობას, ხოლო ფართო-კარგ სიხშირულ გარჩევადობას. პრობლემა იმაშია, რომ ფანჯრის შერჩევა ხდება „ერთხელ და სამუდამოდ“ ანუ სიგნალის მთელი ანალიზის დროს, მაშინ როდესაც სიგნალის სხვადასხვა უბანი მოითხოვს სხვადასხვა ტიპის ფანჯრების გამოყენებას (სწორედ ამ პრობლემის გადაწყვეტას ემსახურება ვეივლებ-გარდაქმნა).

როგორც ავლიშნეთ, ფურიეს გარდაქმნა ბაზისურ ფუნქციად იყენებს ექსპონენტას (სინუსებს და კოსინუსებს), რომლებიც ლოკალიზებული არიან გარკვეულ სიხშირულ არეში და არალოკალიზებული არიან დროით არეში. საწინაღმდეგო მაგალითია კრონეკერის იმპულსური ფუნქცია

$$y_k(t) = d_k(t) = \begin{cases} 1, & k = t \\ 0, & k \neq t. \end{cases}$$

ამ შემთხვევაში ფუნქციები მკვეთრად ლოკალიზებული არიან დროით არეში და სრულიად არალოკალიზებული არიან სისშირულ არეში. ვეივლება გარდა აქტიური შემთხვევის დროს და შეიცავენ გარკვეულ ფუნქციათა ერთობლიობას, რომლებიც აკმაყოფილებენ სიგნალის (1.1) სახით წარმოდგენას. ამრიგად, ზემოდ მოყვანილ პრობლემებს და არა მარტო ამ პრობლემებს, შეძლებისდაგვარად წყვეტის გეოგლებ-გარდაქმნა.

2. ვეივლება გარდაქმნა

2.1. უწყვეტი ვეივლებ-გარდაქმნის არსი

პრაქტიკაში რეალური სიგნალები ძირითადად არასტაციონარულ პროცესებს მიეკუთვნებიან. ასეთი სიგნალების ანალიზის დროს მეტად მნიშვნელოვანია დროის იმ მომენტების განსაზღვრა, როცა სიგნალის სისშირული მახასიათებლები უკცრად იცვლებიან. ასეთი სისშირულ-დროითი ანალიზის უპირატესობა თვალსაჩინოა რადგან ის განკუთვლილია სიგნალში ლოკალური სისშირულ-დროითი შეშფოთებების გამოსავლენად. ასეთი მოკლე ხანგრძლიობის შეშფოთებების პირობებში სიგნალი შეიძლება განვიხილოთ L_2 სიგრცის მთელ ნამდვილ დერძზე $R(-\infty, \infty)$ შემდეგი ნორმით:

$$\|x(t)\|^2 < \infty.$$

ქვედან გამომდინარე, ბაზისური ფუნქცია სწრაფად მილევადი უნდა იყოს, როცა $t \rightarrow \infty$ და უნდა გააჩნდეს სიგნალში როგორც სისშირული, ასევე დროითი მახასიათებლების გამოვლენის საშუალება.

სიხშირულ-დროითი ლოკალიზაციის პირობებს აქმაყოფილებს

$$y_{a,b}(t) = \frac{1}{\sqrt{|a|}} y\left(\frac{t-b}{a}\right) \quad (2.1)$$

ბაზისური ფუნქცია, რომელსაც ვეივლები ეწოდება. $\frac{1}{\sqrt{|a|}}$

მამრავლი საჭიროა $\|y_{a,b}(t)\| = \|y(t)\|$ ნორმის შესანარჩუნებლად. $x(t) \in L_2(R)$ ფუნქციის ინტეგრალს

$$W(a,b) = \frac{1}{\sqrt{|a|}} \int_{-\infty}^{\infty} x(t) y\left(\frac{t-b}{a}\right) dt \quad (2.2)$$

ეწოდება უწყვეტი ვეივლებ-გარდაქმნა. აქ $a, b \in R$, $a \neq 0$. როგორც (2.1) გამოსახულებიდან ჩანს, ვეივლებს გააჩნია ორი a და b არგუმენტი. a პარამეტრი უზრუნველყოფს სიხშირულ ანალიზს, რომელიც განსაზღვრავს ვეივლების ზომას და ამიტომ მას ხშირად მასშტაბს უწოდებენ. ფურიეს ანალიზში მასშტაბის ანალოგს წარმოადგენს პარამონიული რეევის პერიოდი ანუ სიხშირე. უნდა აღინიშნოს, რომ მასშტაბი უფრო ფართო ცნებაა (თუმცა ნაკლებად ვიზუალური), ვიდრე პერიოდი და იგი შეიძლება განისაზღვროს როგორც სიხშირის შებრუნებული მნიშვნელობა. a -ს მცირე მნიშვნელობები, რომლებიც სიგნალში ახასიათებენ სწრაფ პროცესებს, შეესაბამებიან მაღალ სიხშირეებს, ხოლო a -ს დიდი მნიშვნელობები, რომლებიც სიგნალში ახასიათებენ ნელ პროცესებს, შეესაბამებიან დაბალ სიხშირეებს.

b პარამეტრი გვიჩვენებს ვეივლების მდებარეობას დროის დერძზე და მას ძვრა (წანაცვლება) ეწოდება. ფურიეს ანალიზში ამ პარამეტრს ანალოგი არ გააჩნია, გარდა ფურიეს ფანჯრისეული გარდაქმნის დროს, სადაც იგი განსაზღვრას ფანჯრის ადგილმდებარეობას დროით დერძზე.

შემდეგი ვეივლები-გარდაქმნას აქვს შემდეგი
სახე:

$$x(t) = \frac{1}{c_y} \int_{-\infty}^{\infty} \int_{-\infty}^{\infty} W(a, b) Y\left(\frac{t-b}{a}\right) \frac{1}{\sqrt{a}} \frac{dadb}{a^2},$$

სადაც c_y ნორმირების კოეფიციენტია, რომლის ანალოგს ფურიეს გარდაქმნაში წარმოადგენს 2p მნიშვნელობას.

$$c_y = \int_{-\infty}^{\infty} \frac{|Y(w)|^2}{|w|} dw < \infty. \quad (2.3)$$

$j(w)$ -თი აღნიშნულია $y(t)$ ვეივლების ფურიეს გარდაქმნა. ვეივლები-გარდაქმნის დროსაც არსებობს პარსაველის ტოლობა:

$$\int_{-\infty}^{\infty} |x(t)|^2 dt = \frac{1}{c_y} \int_{-\infty}^{\infty} \int_{-\infty}^{\infty} |W(a, b)|^2 \frac{dadb}{a^2}$$

და $E(a, b) = |W(a, b)|^2$ გამოსახულებას შეიძლება ვუწოდოთ ენერგიის სპექტრული სიმკვრივე. (1.4)
გამოსახულებასთან შედარებით $E(a, b)$ გარსაზღვრავს სპექტრულ მახასიათებლებს თრივე a და b პარამეტრებისათვის და ამიტომ მას ენერგიის ლოკალურ სპექტრს უწოდებენ. საწინადმდებო გამოსახულებას

$$E(a) = \int_{-\infty}^{\infty} |W(a, b)|^2 db$$

უწოდებენ ენერგიის გლობალურ სპექტრს, რომელიც გვიჩვენებს ენერგიის ზრდას მასშტაბის მიხედვით და წარმოადგენს ენერგიის სპექტრული სიმკვრივის $E(w)$ ანალოგს. თრივე ეს მახასიათებელი ერთმანეთის მიმართ შემდეგ დამოკიდებულებაში არიან:

$$E(a) = a \int_{-\infty}^{\infty} E(w) |Y(aw)|^2 dw$$

2.2. ვეივლეტის თვისებები

სიხშირულ-დროითი ანალიზისათვის ბაზისურ ფუნქციებს ანუ ვეივლეტებს უნდა გააჩნდეს შემდეგი თვისებები:

1. შეზღუდვა. $y(t)$ ფუნქცია უნდა მიეკუთვნებოდეს L_2 სივრცეს და უნდა სრულდებოდეს შემდეგი უტოლობა:

$$\int_{-\infty}^{\infty} |y(t)|^2 dt < \infty .$$

2. ლოკალიზაცია. ფურიეს გარდაქმნისგან განსხვავებით ვეივლეტები უნდა იყვნენ ლოკალიზებული ანუ განსაზღვრული რაიმე სასრულო ინტერვალში როგორც დროით, ასევე სიხშირით. ეს იმას ნიშნავს, რომ $\Psi(t)$ ვეივლეტები და მათი ფურიეს გარდაქმნები $j(w)$ მნიშვნელოვნად განსხვავდებიან ნულისაგან სიხშირის და დროის მცირე დიაპაზონში და მცირედ განსხვავდებიან ნულისაგან (ან სულაც ნულის ტოლია) ამ ინტერვალის გარეთ. აქედან გამომდინარე, ვეივლეტები შეიძლება გამოვიყენოთ როგორც ფანჯრისეული ფუნქცია, რომელსაც გააჩნია ცენტრი და სიგანე.

არატრივიალური $z(t) \in L_2(R)$ ფანჯრისეული ფუნქციის ლოკალიზაციის რიცხვით ზომად მიღებულია მისი t_0 ცენტრი და რადიუსი Δ_t , რომლებიც განისაზღვრებიან შემდეგნაირად:

$$t_0 = \frac{1}{\|z(t)\|} \int_{-\infty}^{\infty} t |z(t)|^2 dt$$

$$\Delta_z^2 = \frac{1}{\|z(t)\|} \int_{-\infty}^{\infty} [t - t_0]^2 |z(t)|^2 dt$$

ამ დროს ფანჯრისეული ფუნქციის სიგანე $2\Delta_z$ სიდიდის ტოლია.

3. ნულოვანი მომენტები. იმისათვის, რომ უზრუნველელყოფილი იყოს უკუ ვეივლეტ-გარდაქმნა, ვეივლეტი უნდა აკმაყოფილებდეს (2.3) თანაფარდობას. ეს მიიღწევა $j(0)=0$ პირობის შესრულებით, საიდანაც გამომდინარეობს:

$$\int_{-\infty}^{\infty} y(t) dt = 0 \quad (2.4)$$

გამოყენების თვალთაზრისით, ზოგჯერ მეტად მნიშვნელობანია ვეივლეტის არა მხოლოდ ნულოვანი მომენტი, არამედ m -ური რიგის მომენტების ნულთან ტოლობა

$$\int_{-\infty}^{\infty} t^m y(t) dt = 0. \quad (2.5)$$

ვეივლეტები, რომლებსაც გააჩნიათ ნულოვანი მომენტების დიდი რაოდენობა საშუალებას იძლევა სიგნალში უგულველელყოფილი იყოს რეგულარული პოლინომიალური მდგენელები და გააჩნალიზოს მცირემასშტაბიანი ფლუქტუაციები.

4. ავტომოდელური ბაზისი ან თვითმსგავსება. ძვრისა და მასშტაბის მნიშვნელობების ცვლილებისას ბაზისური ფუნქციის ფორმა უნდა დარჩეს ერთი და იგივე.

2.3 ვეივლეტ გარდაქმნის პროცედურა.

დაუშვათ მოცემულია გასაანალიზირებადი სიგნალი. შეირჩევა ბაზისური ვეივლეტი, რომელიც იქნება ყველა ვეივლეტის (ფანჯრის) პროტოტიპი და რომლებიც მიიღებიან ვეივლეტის შეკუმშვის ან გაფართოების გზით. ბაზისური ვეივლეტის შერჩევის შემდეგ გამოთვლები იწყება $a=1$ მასშტაბის დროს. ამისათვის ვეივლეტი მოთავსდება სიგნალის დასაწყისში, კერძოდ სიგნალის იმ წერტილში (მნიშვნელობაში),

რომელიც შეესაბამება $t=0$. ვეივლებ—ფუნქციის მასშტაბი $a=1$ გადამრავლდება სიგნალზე და ხდება ინტეგრირება დროის მთელ ინტეგრალში. ინტეგრირების შედეგი მრავლდება $\frac{1}{\sqrt{a}}$ სიდიდეზე ნორმალიზირებისათვის ანუ იმისათვის, რომ ყოველი მასშტაბისათვის სიგნალს გააჩნდეს ერთნაირი ენერგია.

ვეივლების მასშტაბის $a=1$ შემდეგ ხდება მისი წანაცვლება b დროით და $t=b$ წერტილში ხდება ზემოდ მოყვანილი პროცედურის გამეორება. ვდებულობთ კიდევ ერთ მნიშვნელობას, რომელიც შეესაბამება $t=b$. ეს პროცედურა გრძელდება მანამ, სანამ ვეივლები არ მიაღწევს სიგნალის ბოლოს, რის შედეგადაც ვდებულობთ წერტილთა ერთობლიობას სტრიქონის სახით. შემდეგ ვზრდით a -ს მნიშვნელობას და ზემოდ მოყვანილი პროცედურა მეორდება ყოველი a -ს მნიშვნელობისათვის. ამასთან მიღებული სტრიქონებით ხდება სამაშტაბო-დროითი სიბრტყის შევსება.

მასშტაბის უმცირესი მნიშვნელობა $a=1$ შეესაბამება უდიდეს სიხშირეს. ვეივლები უნდა იყოს ისეთი ვიწრო, როგორიცაა უდიდესი სიხშირის პერიოდი. ყოველ პოზიციაზე ის მრავლდება სიგნალზე. თუ სიგნალში არსებობს სპექტრული კომპონენტები, რომლებიც შეესაბამებიან a -ს მიმდინარე მნიშვნელობას, მაშინ ვეივლების ნამრავლი სიგნალზე იმ ინტეგრალში, სადაც სპექტრული კომპონენტია არსებობს, გვაძლევს შედარებით დიდ მნიშვნელობას. წინააღმდეგ შემთხვევაში ნამრავლის მნიშვნელობა მცირეა ან ნულის ტოლი.

ამრიგად, გარდაქმნის პროცედურა სტარტს იღებს $a=1$ მასშტაბის დროს და გრძელდება a -ს გაზრდასთან ერთად ანუ გარდაქმნა იწყება მაღალი სიხშირეებით და გრძელდება დაბალი სიხშირეებისაკენ. პირველი მნიშვნელობა შეესაბამება უველაზე უფრო შეკუმშულ ვეივლებს და a -ს გაზრდით ვეივლების სიგანე ფართოვდება.

2.4. ვეივლეტის მაგალითები

ვეივლეტები შეიძლება იყვნენ ორთოგონალური, ნახევრადორთოგონალური და ბიორთოგონალური. ეს ფუნქციები შეიძლება იყვნენ სიმეტრიული და ასიმეტრიული. ანსხვავებებს, რომლებიც წარმოდგენილი არიან კომპლექსურ არეში და ვეივლეტებს, რომლებსაც არ გააჩნიათ ეს თვისება. პრაქტიკაში სასურველია ვეივლეტი იყოს ორთოგონალური და სიმეტრიული. სამწუხაროდ დამტკიცებულია, რომ ასეთ ვეივლეტს მიეკუთვნება მხოლოდ პარის ვეივლეტი:

$$y(t) = \begin{cases} 1, & 0 \leq t < \frac{1}{2}, \\ -1, & \frac{1}{2} \leq t < 1, \\ 0, & t < 0, t \geq 1 \end{cases}$$

რომლის ფურიეს გარდაქმნას აქვს შემდეგი სახე:

$$j(w) = 3q(w) \left(\frac{\sin w}{w} - \frac{\sin 3w}{3w} \right),$$

სადაც $q(w)$ ხევისაიდის ფუნქციაა, რომელიც განისაზღვრება შემდეგნაირად:

$$q(w) = \begin{cases} 1, & w > 0, \\ 0, & w \leq 0. \end{cases}$$

პარის ვეივლეტი თითქმის გამოუსადაგერია პრაქტიკული ამოცანების გადასაწყვეტად, რადგან ბაზისურ ვეივლეტს გააჩნია ერთის ტოლი მნიშვნელობა $[0,1]$ ინტერვალში და ნული ამ ინტერვალის გარეთ,

ამიტომ პარის გეივლეტი დროშო კარგად
ლოკალიზებულია, მაგრამ არალოკალიზებულია
სისშირულ არეში.

მოვიყვანოთ ზოგიერთი ბაზისური გეივლეტები. ამ
მხრივ, ყველაზე პოპულარულია გაუსის ფუნქცია,
რომელიც ზოგადად წარმოდგენილია შემდეგნაირად:

$$y_m(t) = (-1)^m \frac{1}{\sqrt{2p}} \frac{d^m}{dt^m} \exp\left\{-\frac{t^2}{2\sigma^2}(t-m)^2\right\} \quad (2.6)$$

სადაც m პირველი რიგის საწყისი მომენტია,
ს სტანდარტული გადახრა. (2.5) პირობიდან გამომდინარე
 $m=0$ და $s=1$, მაშინ (2.6) გამოსახულება მიიღებს
შემდეგ სახეს:

$$y_m(t) = (-1)^m \frac{1}{\sqrt{2p}} \frac{d^m}{dt^m} \exp\left\{-\frac{t^2}{2}\right\} \quad (2.7)$$

რომლის ფურიეს გარდაქმნას აქვს შემდეგი სახე:

$$j(w) = m(jw)^n \exp\left\{-\frac{w^2}{2}\right\} \quad (2.8)$$

(2.7) გამოსახულების პირველი წარმოებული ანუ როცა
 $m=1$ ვდებულობთ *WAVE*-გეივლეტს, რომელსაც გააჩნია
შემდეგი სახე:

$$y(t) = -\frac{1}{\sqrt{2p}} t \exp\left\{-\frac{t^2}{2}\right\},$$

გრაფიკულად *WAVE*-გეივლეტი არასიმეტრიული
ფუნქციაა, რომლის ნულოვანი მომენტი ნულის ტოლია.

ორი გაუსის ფუნქციის სხვაობა ქმნის *DOG*
(*Difference of Gaussians*) გეივლეტს:

$$y(t) = \exp\left\{-\frac{t^2}{2}\right\} - 0,5 \exp\left\{-\frac{t^2}{8}\right\},$$

რომლის ფურიეს გარდაქმნაა:

$$j(w) = \frac{1}{\sqrt{2p}} \left[\exp\left\{-\frac{w^2}{2}\right\} - \exp\left\{-2w^2\right\} \right]$$

და ასე შემდეგ. მრავალრიცხოვან ვეივლეტებიდან განვიხილოთ ყველაზე უფრო ხშირად გამოყებადი მორდეს და *MHAT*-ვეივლეტები.

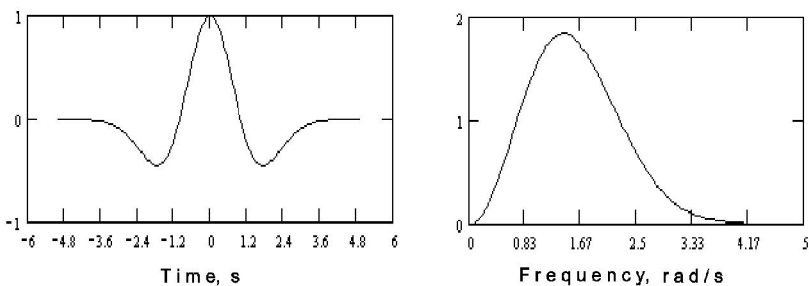
***MHAT*-ვეივლეტი.** (2.6) გამოსახულების მეორი წარმოებულით ($m=2$) ვღებულობთ *MHAT*-ვეივლეტს

$$y(t) = (1-t^2) \exp\left\{-\frac{t^2}{2}\right\}$$

და მის ფურიეს გარდაქმნას:

$$j(w) = \sqrt{2p} w^2 \exp\left\{-\frac{w^2}{2}\right\},$$

რომელსაც გააჩნია ნულოვანი და პირველი მომენტები ნულის ტოლი. ამ ვეივლეტს სახელი *MHAT* (*Mexican HAT*) წარმოიშვა მისი გრაფიკული გამოსახულების გამო, რომელიც წააგავს მექსიკურ სომბრეროს.



ნაბ. 2.1

ნახ. 2.1 წარმოდგენილია *MHAT*-ვეივლეტი (მარცხნივ) და მისი ფურიეს გარდაქმნა (მარჯვნივ). რადგან *MHAT*-ვეივლეტი სიმეტრიულია და ფურიეს სპექტრი ვიწრო ზოლისაა, ამიტომ მას გააჩნია კარგი სიხშირულ-დროითი გარჩევადობა. დოკალიზაციის ცენტრი და რადიუსი ორივე შემთხვევაში შესაბამისად ტოლია:

$$t_0 = 0, \Delta_t = 1,08, w_0 = 1,51, \Delta_w = 0,49.$$

MHAT-ვეივლეტის სპექტრი წარმოდგენილია მხოლოდ ნამდვილი ნაწილით და ის ძირითადად გამოიყენება როული სიგნალების ანალიზისათვის.

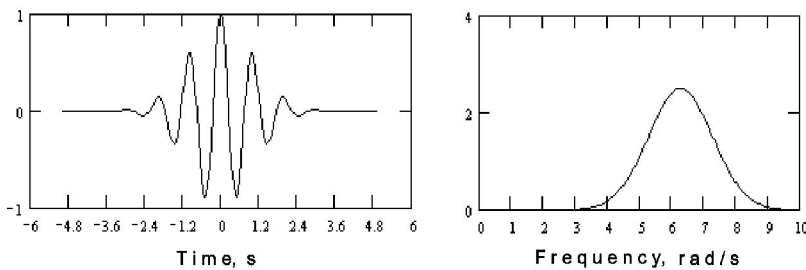
მორლეს ვეივლეტი. პრაქტიკაში ფართო გამოიყენება პპოვა მორლეს ვეივლეტმა, რომელსაც გააჩნია შემდეგი სახე:

$$y(t) = \exp\{jw_0 t\} \exp\left\{-\frac{t^2}{2}\right\},$$

რომლის ფურიეს გარდაქმნა ტოლია:

$$j(w) = a\sqrt{p} \exp\left\{-\frac{a^2(2p-w)^2}{4}\right\}.$$

სადაც w დომინირებული სიხშირეა.



ნახ. 2.2

ნახ. 2.2 წარმოდგენილია მორლეს ვეივლეტის ნამდვილი ნაწილი (მარცხნივ) და მისი ფურიეს გარდაქმნა

(მარჯვნივ). დროით არეში მორლეს ვეივლეტის ლოკალიზაციის ცენტრი და რადიუსი ტოლია:

$$t_0 = 0, \quad \Delta_t = \frac{a}{2}.$$

სამწუხაროდ, იგივე მონაცემების მიღება სიხშირული არესათვის გაძნელებულია. მორლეს ვეივლეტის გააჩნია ნულის ტოლი მხოლოდ ნულოვანი მომენტი.

2.5 დისკრეტული ვეივლეტ-გარდაქმნა

მიუხედავად იმისა, რომ უწყვეტი ვეივლეტ-გარდაქმნა გვაძლევს მიღებული შედეგების ოვალსაჩინო წარმოდგენის საშუალებას, მისი პრაქტიკული გამოყენება შეზღუდულია. ამ შემთხვევაში ბაზისური ფუნქციები არ წარმოადგენებ მკაცრად ორთოგონალურებს, რადგან ბაზისის ელემენტები უსასრულოდ დიფერენცირებადი არიან და ექსპონენციალური კანონით მიისწრაფიან უსასრულობისაკენ. გარდა ამისა, სიგნალის გაზომვის შედეგები წარმოადგენებ არა ფუნქციას, რომელიც განსაზღვრულია მთელი დროის დერძზე, არამედ მწერივს, რომლის მოცულობა ყოველთვის სასრულოა. აქედან გამომდინარე, ვეივლეტ-გარდაქმნის ინტეგრალი უნდა შეიცვალოს ჯამით, ე.ი. ვდებულობთ დისკრეტულ ვეივლეტ-გარდაქმნას. თუ დროითი მწერივი მოცემულია Δt დისკრეტიზაციის ინტერვალით,

$$x_k = x_k(t_k), \quad t_k = \Delta t \cdot k, \quad k = 1, 2, \dots, N$$

მაშინ დისკრეტულ ვეივლეტ-გარდაქმნას ექნება შემდეგი სახე:

$$W(a, b) = \frac{1}{n(a, b)} \sum_{k=1}^N x_k y \left(\frac{t_k - b}{a} \right), \quad (2.9)$$

სადაც

$$n(a,b) = \sum_{k=1}^N \exp\left\{-\frac{1}{B}\left(\frac{t_k - b}{a}\right)^2\right\} \quad (2.10)$$

B სიდიდე დებულობს სხვადასხვა მნიშვნელობას იმისდა მიხედვით, თუ რომელ ვეივლებს ვიყენებთ. მაგალითად, $MHAT$ -ვეივლებისათვის $B=2$, ხოლო მორლეს ვეივლებისათვის $B=a^2$. თუ შევადარებთ (2.9) გამოსახულებას (2.2) გამოსახულებას შევამჩნევთ, რომ (2.2) ფორმულის მნიშვნელიდან ამოღებულია $\sqrt{|a|}$ მამრავლი, რომელიც შეცვლილია შემდეგი გამოსახულებით:

$$\int_{-\infty}^{\infty} \exp\left\{-\frac{1}{B}\left(\frac{t - b}{a}\right)^2\right\} dt = a\sqrt{B}\pi$$

რითაც უგულვაბეჭდყოფილია პარმონიული რჩევის ამპლიტუდის დამოკიდებულება a პარამეტრზე. (2.9) გამოსახულება განისაზღვრება შემდეგი

$$a_i, b_j, \quad i=1,2,\dots,N_a, \quad j=0,1,2,\dots,N_b$$

მნიშვნელობების საფუძველზე.

2.6 სკალოგრამა, სკეილოგრამა და სკელეტონი

თუ გამოვყენებთ (2.9) გამოსახულებას, მაშინ ლოკალური სპექტრის ენერგიის შეფასება იქნება:

$$S(a_i, b_j) = |W(a_i, b_j)|^2 \quad (2.11)$$

ამ ფუნქციას უწოდებენ სკალოგრამას, რომელსაც გააჩნია მასშტაბის მიმართ ენერგიის განაწილების თვისება. რადგან ეს განაწილება b პარამეტრის საშუალებით ლოკალიზებულია დროში, ამიტომ (2.11) გამოსახულებას შეიძლება ვუწოდოთ ლოკალური სკალოგრამა.

ცხადია რომ (2.11) გამოსახულების საფუძველზე
შეგვიჩნდია შევაფასოთ ენერგიის გლობალური სპექტრი:

$$G(a_i) = \frac{1}{N^*} \sum_j S(a_i, b_j), \quad (2.12)$$

სადაც N^* -იმ წერტილების რაოდენობაა, რომლის
მიხედვითაც ხდება (2.12) გამოსახულების გასაშუალება.
(2.12) გამოსახულებას უწოდებენ სკეილოგრამას,
რომელიც წარმოადგენს ფურიე-გარდაქმნის გაგლუგებულ
პერიოდოგრამის პირდაპირ ანალოგს.

$S(a_i, b_j)$ სკეილოგრამის მნიშვნელობები დევს
ზედაპირზე და მისი წარმოდგენისათვის გამოიყენება ორი
მეთოდი:

ა) სკეილოგრამის ზედაპირის სიბრტყისეული
წარმოდგენა სამგანზომილებიან სივრცეში (a, b, s)
კორდინატებით, სადაც აბსცისათა დერძზე გადაზომილია
 b წანაცვლება, ორდინანტთა დებზე – a მასშტაბი, ხოლო
 s სიდიდე მესამე დერძზე.

ბ) სკეილოგრამის ზედაპირის სიბრტყისეული
წარმოდგენა (a, b) კორდინატებით ტოპოგრაფიული რუკის
სახით. მესამე s მაჩვენებლის მასშტაბი ნაჩვენებია ან
იზოხაზის დაგრადუირებით ან იზოხაზებს შორის
არსებული სივრცის გაფერადებით, სადაც მაქსიმუმების
არეს გააჩნია, მაგალითად, თეთრი ფერი, ხოლო
მინიმუმების არეს – შავი ფერი.

ხშირად სკეილოგრამაზე კონტურული წრფეები
სიხშირით ახლოს არიან ერთმანეთთან, რაც ხელს
უშლის დროში სიხშირეების განაწილების ეფოლუციას.
ამის თავიდან ასაცილებლად შეგვიძლია გამოვიყენოთ
სკეილოგრამოს ის წერტილები, სადაც მას გააჩნია a და b
პარამეტრებით მაქსიმუმები:

$$S_c(a_i, b_j) = \begin{cases} S_{ij}, & \text{როცა } S_{i-1,j} < S_{ij} > S_{i+1,j} \\ & \text{ან } S_{i,j-1} < S_{ij} > S_{i,j+1} \\ 0, & \text{სხვა შემთხვევაში} \end{cases} \quad (2.13)$$

ამ ფორმულაში $S_{ij} \equiv S(a_i, b_j)$. (2.13) სახის ფუნქციას სკელეტონი ეწოდება. სინუსოიდალური სიგნალის შემთხვევაში სკელეტონის წერტილები განლაგდებიან წრფეზე, რომელიც პარალელურია დროით დერძის მიმართ. თუ მონაცემებში გვაქვს ჰარმონიული ან კვაზიპარმონიული კომპონენტები, მაშინ სკელეტონის ტოპოგრაფიული რუკა შედგება ხაზებისაგან, რომლებიც ორიენტირებულები არიან ხ დერძის მიმართ. თუ სიგნალი შეიცავს ხმაურის კომპონენტებს, მაშინ სკელეტონის ხაზები გაიჭიმება პერპენდიკულად ანუ a დერძის პარალელურად. თუ მონაცემები შეიცავენ როგორც ჰარმონიულ, ასევე ხმაურის კომპონენტებს, მაშინ სკელეტონის რუკაზე ისინი წარმოდგენილნი არიან ცალკალკბ-

მოკლედ ჩამოვაყალიბოთ ვეივლეტ-გარდაქმნის დადებითი და უარყოფითი თვისებები:

- ვეივლეტ-გარდაქმნას გააჩნია პრაქტიკულად ფურუეს გარდაქმნის ყველა დადებითი თვისება;

- ბაზისური ვეივლეტები კარგად არიან ლოკალიზებულნი როგორც სიხშირულ, ასევე დროით დიაპაზონებში;

- ფურიეს გარდაქმნისაგან განსხვავებით ბაზისურ ვეივლეტებს გააჩნიათ საკმაოდ მრავალფეროვანი ფუნქციები, რომლებიც ორიენტირებული არიან სხვადასხვა ტიპის ამოცანების გადასაწყვეტად;

- ბაზისური ვეივლეტები შეიძლება წარმოვადგინოთ როგორც სასრულო ისე უსასრულო ინტერვალში, რომლებიც რეალიზებული არიან სხვადასხვა სახის გლუკი ფუნქციებისაგან;

- ვეივლეტ-გარდაქმნის ნაკლოვანებად შეიძლება ჩავთვალოთ მისი შედარებითი სირთულე.

უნდა აღინიშნოს, რომ ვეივლეტ-გარდაქმნა ყოველთვის არ ცვლის ფურიეს გარდაქმნას. ასე მაგალითად, ფურიეს ანალიზი ხშირად გამოიყენება ორთოგონალური ვეივლეტის შესაქმნელად, მრავალ-

მაშტაბური ანალიზის ჩასატარებლად და სხვა. ბევრი გეივლებულ-გარდაქმნის თეორემები მტკიცდება ფურიეს ანალიზის მეშვეობით. ამრიგად, ანალიზის ეს ორი მეთოდი წარმოადგენს ერთმანეთის მიმართ ურთიერთდამატებას და არა კონკურენტულ მეთოდებს.

3 ვეივლებულ-გარდაქმნის გამოყენების ზოგიერთი ასპექტი

3.1 ვეივლებულ-გარდაქმნა როგორც ფილტრაცია

გავიხსენოთ, რომ ფილტრაცია ეწოდება საწყისი ფუნქციის ისეთ გარდაქმნას, რომელსაც მივყავართ მისი სპექტრული შემადგენლობის შეცვლასთან. $x(t)$ სიგნალის ფილტრი შეიძლება წარმოვადგინოთ შემდეგნაირად:

$$y(t) = \int_{-\infty}^{\infty} h(t)x(t-t)dt , \quad (3.1)$$

სადაც $h(t)$ ფილტრის წონითი ფუნქციაა, რომელიც აკმაყოფილებს შემდეგ პირობას:

$$\int_{-\infty}^{\infty} h(t)dt = 1 . \quad (3.2)$$

(3.1) გამოსახულების ფურიეს გარდაქმნის შედეგად ვდებულობთ:

$$Y(w) = H(w)X(w) ,$$

სადაც $H(w)$ ფილტრის გადამცემი ფუნქციაა, რომელიც მიიღება წონითი ფუნქციის ფურიეს გარდაქმნით:

$$H(w) = \int_{-\infty}^{\infty} h(t) \exp\{-jwt\}dt .$$

მაგალითად, საფეხუროვანი წონითი ფუნქციისათვის

$$h(t) = \begin{cases} \frac{1}{2T}, & |t| \leq T, \\ 0, & |t| > T \end{cases}$$

გადამცემ ფუნქციას აქვს შემდეგი სახე:

$$H(w) = \frac{\sin(Tw)}{Tw}. \quad (3.3)$$

ზოგადად (3.3) გამოსახულებიდან გამომდინარეობს, რომ $H(0)=1$, ამიტომ (3.2) გამოსახულებით მიიღება დაბალსიხშირიანი ფილტრაცია. უნდა აღინიშნოს, რომ (3.3) გადამცემი ფუნქციის სიხშირული გატარების სიგანე განისაზღვრება მხოლოდ ფილტრის წონითი ფუნქციით ანუ T მაჩვენებლის მნიშვნელობით.

თუ შევადარებთ (2.2) და (3.1) გარდაქმნებს, შეიძლება ითქვას, რომ უწყვეტი კეივლებ-გარდაქმნა შეიძლება ჩაითვალოს საწყისი $x(t)$ ფუნქციის ფილტრად. თუ (2.2) გამოსახულების მიმართ გამოვიყენებთ ფურიეს გარდაქმნას, მაშინ მივიღებთ:

$$W(a, w) = \sqrt{aj} (aw)x(w)$$

საიდანაც ჩანს, რომ ვეივლებ-გარდაქმნის გადამცემ ფუნქციას აქვს შემდეგი სახე:

$$H(w) = \sqrt{aj} (aw) \quad (3.4)$$

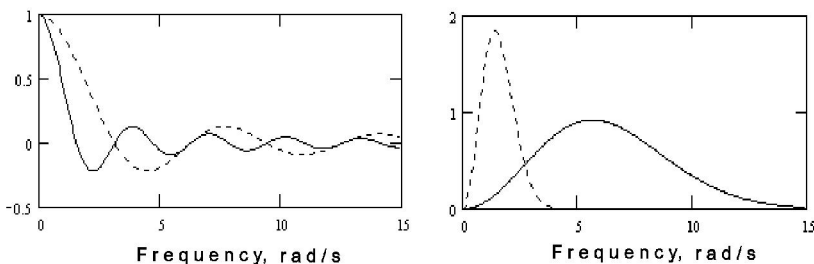
$j (0=0)$ პირობის თანახმად (3.4) ტოლობიდან გამომდინარეობს, რომ $H(0)=0$. ამას ისიც უნდა დაუმატოთ, რომ მასშტაბის ყოველ $a>0$ მნიშვნელობისათვის $H(w)$ ფუნქციის მაქსიმუმი იმყოფება

$$W_{\max} = \frac{c}{a}$$

სიხშირეზე, სადაც c მნიშვნელობა დამოკიდებულია ვეივლების ტიპზე. ასე მაგალითად, $MHAT$ ვეივლებისათვის $c=\sqrt{2}$, ხოლო მორლეს ვეივლებისათვის $c=2p$. გარდა ამისა, $H(w)$ ფუნქციის ეფექტური სიგანე მცირდება a მასშტაბის გაზრდისას. სხვა

სიტყვებით, კეივლეტ-გარდაქმნა წარმოადგენს ზოლურ ფილტრს ცვლადი სიგანის გატარების ზოლით (დიდი მასშტაბისათვის ვიწრო, ხოლო მცირე მასშტაბისათვის ფართო).

ნახ. 3.1 წარმოდგენილია (3.3) და (3.4) გადამცემი ფუნქციები. ნახაზის მარცხნივ ნაჩვენებია დაბალ-სიხშირიანი ფილტრის გადამცემი ფუნქცია (3.3), როცა $T=1$ (დაშტრიხული წრფე) და როცა $T=2$ (უწყვეტი წრფე). ნახაზის მარჯვნივ ნაჩვენებია *MHAT* კეივლეტის ზოლური ფილტრის გადამცემი ფუნქცია (3.4), როცა $a=0,25$ (უწყვეტი წირი) და როცა $a=1$ (დაშტრიხული წირი).



ნახ. 3.1

ამრიგად, სამაშტაბო კოეფიციენტის $a>0$ ყოველი მნიშვნელობისათვის $W(a,b)$ სიდიდე, რომელიც განსაზღვრულია (2.2) გარდაქმნით, წარმოადგენს საწყისი ფუნქციის ფილტრაციის შედეგს სიხშირულ დიპაზონში, რომლის ცენტრი განისაზღვრება სამაშტაბო კოეფიციენტით, ხოლო სიგანე – შერჩეული კეივლეტის თვისებებით.

3.2 სიგნალის გამოყოფა ხმაურიდან

დროითი მწკრივების სპექტრულ ანალიზი
სასარგებლო სიგნალის გამოყოფა ხმაურიდან
ძირითადად წარმოებს სტატისტიკური მეთოდებით.
ჩავთვალოთ, რომ დროითი მწკრივი

$$x_k = x(t_k), \quad t_k = \Delta t \cdot k, \quad k=1,2,\dots,N$$

წარმოადგენს შემთხვევითი სიდიდის არაკორელირებულ
ამონარჩევს, რომელსაც გააჩნია ნორმალური განაწილება
ნულოვანი მათემატიკური ლოდინით და S_0^2 დისპერსიით.
ე.ი.

$$\langle x_p x_q \rangle = \begin{cases} S_0^2, & p=q, \\ 0, & p \neq q. \end{cases}$$

განვსაზღვროთ მორდეს ვეივლებისათვის სკალოგრამის
მნიშვნელობების განაწილების კანონი. შემოვიტანოთ
შემდეგი აღნიშვნა:

$$t_k = \frac{t_k - b}{a} .$$

სკალოგრამა წარმოვადგინოთ შემდეგნაირად:

$$S(a,b) = P^2(a,b) + Q^2(a,b) ,$$

სადაც

$$P(a,b) = \frac{1}{n(a,b)} \sum_{k=1}^N x_k \exp\left\{-\frac{t_k}{a^2}\right\} \cos(2\pi t_k) ,$$

$$Q(a,b) = \frac{1}{n(a,b)} \sum_{r=0}^N x_k \exp\left\{-\frac{t_k}{a^2}\right\} \sin(2\pi t_k) .$$

ადგილად მტკიცდება, რომ ფიქსირებულ b პარამეტრის
დროს $P(a,b)$ და $Q(a,b)$ წარმოადგენებ ნორმალურად
განაწილებულ შემთხვევით სიდიდეებს ნულოვანი
მათემატიკური ლოდინით და დისპერსიით:

$$S^2 = \frac{S_0^2}{2} Z(a,b) ,$$

სადაც

$$Z(a, b) = \frac{1}{n^2(a, b)} \sum_{k=1}^N \exp \left\{ -\frac{2t_k}{a^2} \right\} .$$

განვიხილოთ ნორმირებული სკალოგრამა:

$$S(a, b) = \frac{S(a, b)}{S_0^2 Z(a, b)} .$$

$2S(a, b)$ სიდიდეს გააჩნია C^2 განაწილება ორი თავისუფლების ხარისხით. აქედან გამომდინარეობს, რომ ნორმირებული სკალოგრამა a პარამეტრის მიმართ წარმოადგენს შემთხვევით სიდიდეს, რომლის განაწილების კანონს აქვს შემდეგი სახე:

$$P(x) = \exp \{-x\} \quad 0 < x < \infty .$$

თუ ნორმირებული სკალოგრამის განაწილების კანონი ცნობილია, მაშინ შესაძლებელია ჩამოვაყალიბით სიგნალის ხმაურიდან გამოყოფის კრიტერიუმი. მართლაც, ალბათობა იმისა, რომ ნორმირებული სკალოგრამის მნიშვნელობები გადააჭარბებუნ მოცემულ T მნიშვნელობას განისაზღვრება ფორმულით:

$$P\{S(a, b) > T\} = \int_T^\infty p(x) dx = \exp \{-T\}$$

თუ ავიდებთ მნიშვნელოვნების დონეს $a \ll 1$, რომელიც განსაზღვრავს იშვიათ ხდომილობის ალბათობას, მაშინ სიგნალის გარჩევის ზღურბლის მნიშვნელობა ტოლია:

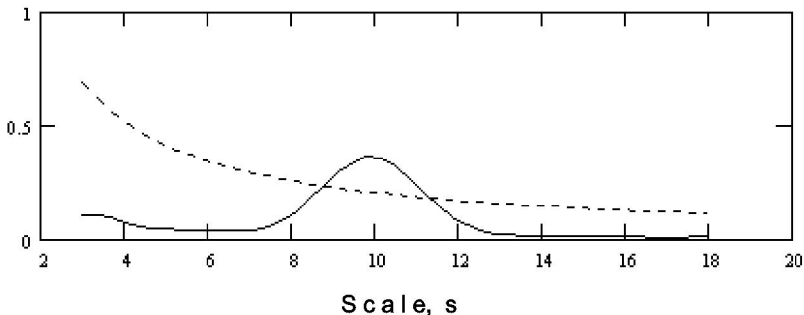
$$T_a = -\lg a .$$

სხვა სიტყვებით, $p = 1 - a$ ალბათობით შეგვიძლია დავასკვნათ, რომ $S(a, b)$ სკალოგრამის ის მნიშვნელობები, რომლებიც აკმაყოფილებენ შემდეგ უტოლობას:

$$S(a, b) > S_0^2 Z(a, b) T_a \tag{3.5}$$

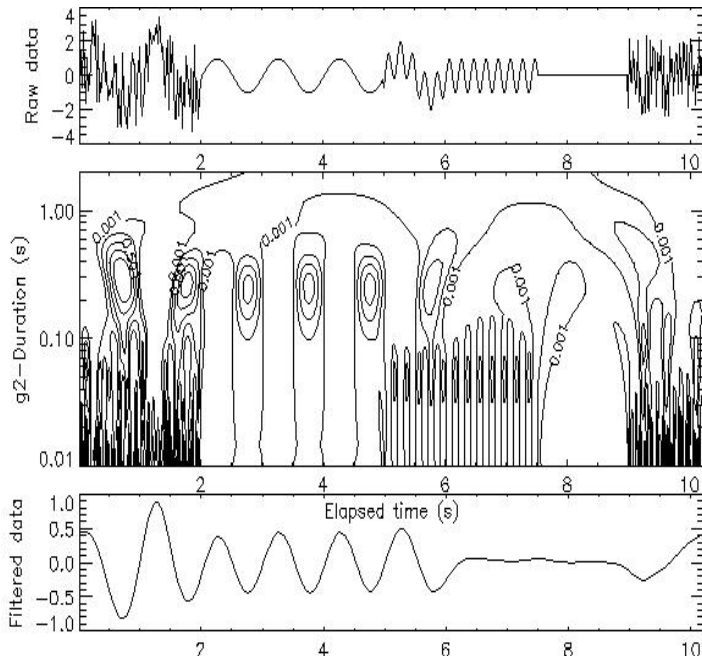
მიკუთვნებიან სასარგებლო სიგნალს. უნდა აღინიშნოს, რომ $Z(a, b)$ ფუნქცია პრაქტიკულად არ არის დამოკიდებული b ძვრაზე. ნახ. 3.2 წარმოდგენილია (3.5)

გამოსახულების მარჯვენა მხარეს მდგომი ფუნქციის მახასიათებელი სახე, როცა $N=100$ და $\Delta t=1$. ნახაზე წყვეტილი წირი გვიჩვენებს სიგნალის სმაურიდან აღმოჩენის 99%-იან ზღურბლს.



ნახ. 3.2

ნახ. 3.3 წარმოდგენილია უკუ ვეივლეტ-გარდაქმნის გამოყენება სიგნალის ფილტრაციისათვის.



ნახ. 3.3

ამ შემთხვევაში ფილტრაცია ეფუძნება უპუ კეივლებზე – გარდაქმნის დროითი კოეფიციენტების ნაწილობრივ გამოყენებას, ზოგიერთი ხანგრძლიობის გამორიცხვის საშუალებით. ნახაზზე მოყვანილი სიგნალის ფილტრაციისათვის გამოყენებული იყო კეივლებზე–გარდაქმნის სიხშირული ზოლის მხოლოდ 20-40%.

3.3 სინუსოიდის ვეივლები-გარდაქმნა

დროითი მწკრივების ფურიეს ანალიზი და ვეივლები-ანალიზი ეფუძნება არსებული ინფორმაციის დროით არედან სისშირულ არეში გადაყვანას ან არეში, რომელიც მოცემულია a, b პარამეტრებით ვეივლები-გარდაქმნის დროს. პოლიპარმონიული ფუნქციის ანალიზის დროს საჭიროა ვიცოდეთ თუ როგორ სახეს დებულობს მარტივი სინუსოიდა ამ არეებში ვეივლები-გარდაქმნის შემთხვევაში. ამისათვის განვიხილოთ სინუსოიდა:

$$x(t) = A \sin(\omega_0 t) = \frac{A}{2j} [\exp\{j\omega_0 t\} - \exp\{-j\omega_0 t\}] ,$$

რომლის ფურიეს გარდაქმნა ტოლია:

$$X(w) = \frac{A\text{p}}{j} [d(w - \omega_0) - d(w + \omega_0)] . \quad (3.6)$$

თუ (2.2) გამოსახულების მიმართ ჯერ გამოვიყენებთ ფურიეს გარდაქმნას, ხოლო შემდეგ ფურიეს უკავ გარდაქმნას, მაშინ მივიღებთ:

$$W(a, b) = \frac{A\sqrt{a}}{2\pi} \int_{-\infty}^{\infty} (aw) X(w) \exp\{jbw\} dw . \quad (3.7)$$

ჩავსვათ (3.6) გამოსახულება (3.7) გამოსახულებაში:

$$W(a, b) = \frac{A\sqrt{a}}{2j} [\exp\{jb\omega_0\} j (a\omega_0) - \exp\{-jb\omega_0\} j (-a\omega_0)] \quad (3.8)$$

იმ შემთხვევაში, როცა $j(w)$ ფუნქცია ნამდვილია და ლურჯი, მაშინ (3.8) გამოსახულება მარტივდება:

$$W(a, b) = A\sqrt{a} j(a\omega_0) \sin(\omega_0 b) . \quad (3.9)$$

(3.8) და (3.9) ფორმულები შეესაბამებიან უწყვეტ ვეივლები-გარდაქმნას. (3.8) და (3.9) გამოსახულებები შეიძლება ასე წარმოვადგინოთ:

$$W(a, b) = \frac{A}{2j\sqrt{Bp}} [\exp\{jw_0 b\} j(a w_0) - \exp\{-jw_0 b\} j(-a w_0)] \quad (3.10)$$

$$W(a, b) = \frac{A}{\sqrt{Bp}} j(a w_0) \sin(w_0 b) \quad (3.11)$$

MHAT-ვეივლეტისათვის $B=2$, ხოლო მორლეს ვეივლეტისათვის $B=a^2$. თუ გამოვიყენებთ *MHAT* – ვეივლეტს და (3.11) ფორმულაში ჩავსგათ მისი ფურიეს გარდაქმნას

$$j(w) = \sqrt{2p} w^2 \exp\left\{-\frac{w^2}{2}\right\}, \quad \text{მაშინ მივიღებთ:}$$

$$W(a, b) = A^2 w_0^2 \exp\left\{-\frac{a^2 w_0^2}{2}\right\} \sin(w_0 b) \quad (3.12)$$

და მის შესაბამის სკალოგრამას:

$$S(a, b) = A^2 a^4 w_0^4 \exp\left\{-a^2 w_0^2\right\} \sin^2 w_0^2 b. \quad (3.13)$$

ჩვენ ვხედავთ, რომ სინუსოიდის w_0 სიხშირის დაფიქსირებისას *MHAT*-გარდაქმნა არის იგივე სიხშირის სინუსოიდა, რომლის ამპლიტუდა დამოკიდებულია მასშტაბის მიმდინარე მნიშვნელობაზე. განვსაზღვროთ (3.12) და (3.13) გამოსახულებების მაქსიმუმი მასშტაბის მიმართ. ამისათვის გავაწამოვოდ ორივე გამოსახულება a -თი და გაუტოლოთ ნულს. მიღებულ განტოლებათა სისტემის ამონცნის შედეგად მივიღებთ:

$$a_{\max} = \frac{\sqrt{2}}{w_0}$$

სინუსოიდის P_0 პერიოდისათვის გვაქნება:

$$P_0 = \frac{2p}{w_0} = p \sqrt{2} a_{\max} \approx 4,44 a_{\max}.$$

მორლეს ვეივლეტის გამოყენებისას, თუ (3.11) გამოსახულებაში ჩავსვამთ მორლეს ვეივლეტის ფურიეს გარდაქმნას

$$j(w) = a\sqrt{p} \exp\left\{-\frac{a^2(2p-w)^2}{4}\right\},$$

მაშინ მივიღებთ:

$$W(a, b) = \frac{A}{2j} \left[\exp\left\{jw_0b - \frac{a^2}{4}(2p - aw_0)\right\} - \exp\left\{-jw_0b - \frac{a^2}{4}(2p + aw_0)\right\} \right]$$

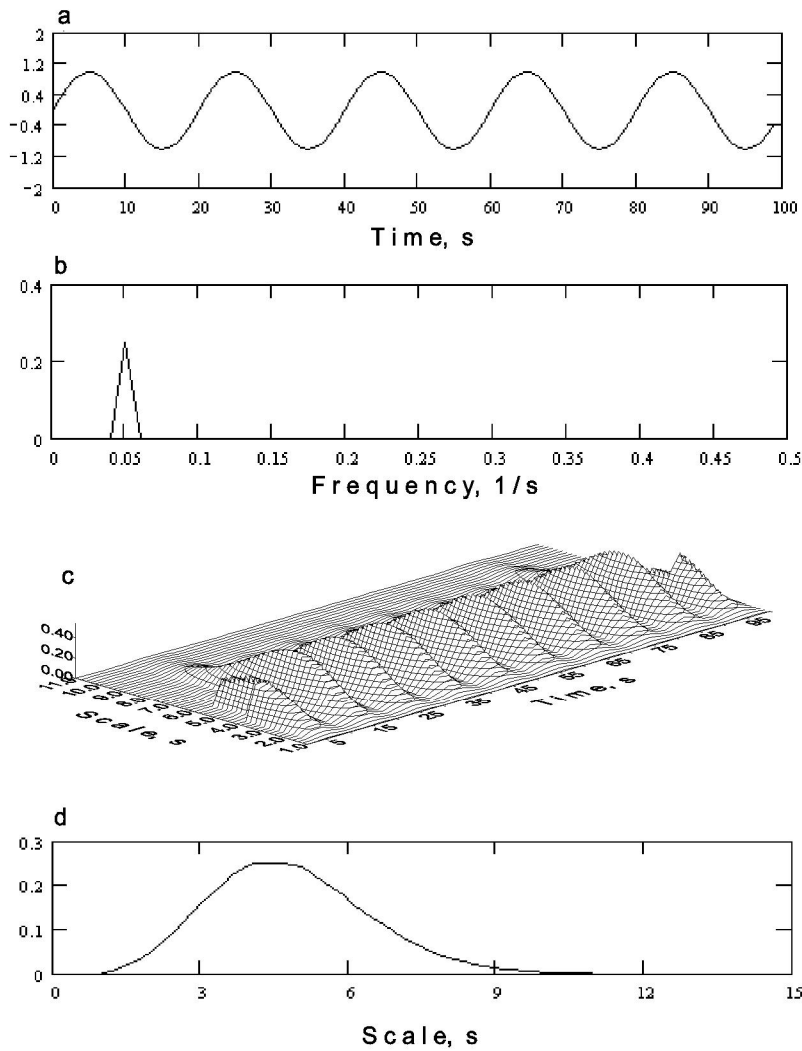
$$S(a, b) = \frac{A^2}{4} \left[\exp\left\{-\frac{a^2}{2}(2p - aw_0)^2\right\} + \exp\left\{-\frac{a^2}{2}(2p + aw_0)^2\right\} \right]$$

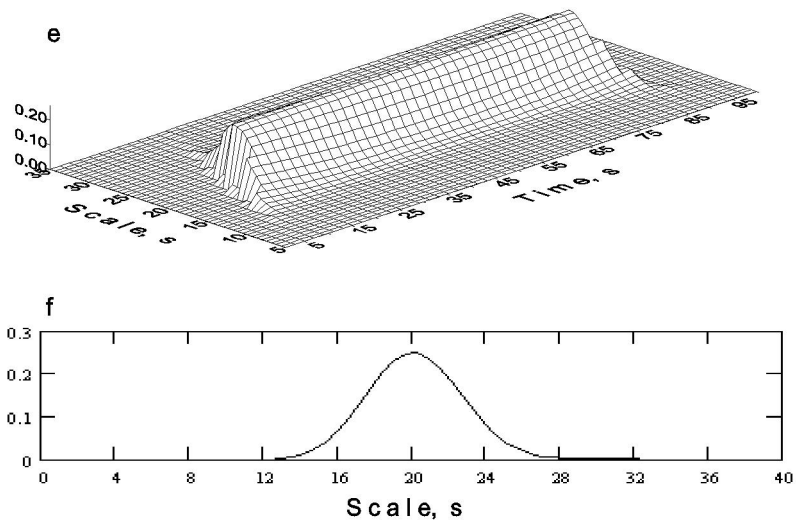
წინა შემთხვევისაგან განსხვავებით, ჩვენ ვხედავთ, რომ სინუსოიდის ლოკალური სპექტრის ენერგია არ არის დამოკიდებული b ძვრაზე და მასშტაბის მაქსიმუმი სინუსოიდის პერიოდთან დაკავშირებულია შემდეგნაირად:

$$P_0 = a_{\max}.$$

უნდა აღინიშნოს, რომ კავშირი სინუსოიდის პერიოდსა და მაქსიმალურ მასშტაბს შორის მორლეს ვეივლების გამოყენებისას იგივეა რაც ფურიეს გარდაქმნისას. ამ გარემოების გათვალისწინებით მორლეს ვეივლების გამოყენება დროითი მწკრივების ანალიზისათვის უფრო მიზანშეწონილია, ვიდრე MHAT-ვეივლებისა.

ნახ. 3.4 ნაჩვენებია სინუსოიდის ვეივლებ-გაგდაქმნა, სადაც a -საწყისი მწკრივია; b -ფურიეს გარდაქმნა; c -სკალოგრამა ($MHAT$ -ვეივლები); d -სკეილოგრამა ($MHAT$ -ვეივლები); e -სკალოგრამა(მორლეს ვეივლები); f -სკეილოგრამა (მორლეს ვეივლები).





68b. 3.4

4. დოკუმენტი მოდელის ვალიდურობის
აღმოჩენის შემთხვევაში

1. საწყისი მონაცემები.

მოცემულია დროითი მწკრივი:

$$x_k = x(t_k), \quad t_k = \Delta t \cdot k, \quad k = 1, 2, \dots, N,$$

სადაც Δt -დისკრეტუაციის ინტერვალია; N -დროითი მწკრივის განხომილება.

2. დროითი მწკრივის გრაფიკული წარმოდგენა.

საწყისი მონაცემების გრაფიკული წარმოდგენა საშუალებას იძლევა მწკრივში არსებული მუდმივი მდგრენელის ან კიდევ დაბალსისშირიანი მდგრენელის ანუ ტრენდის წარმოდგენის საშუალებას. რადგან ვეივლებას ფუნქციას გააჩნია ნულის ტოლი ნულოვანი მომენტი, ამიტომ იგი იწვევს მწკრივიდან მუდმივი მდგრენელის გამორიცხვას, რასაც ვერ ვიტყვით ტრენდის შესახებ, რადგან ვეივლება-გარდაქმნას ასეთი თვისება არ გააჩნია. დროითი მწკრივის მაღალსისშირული კომპონენტების შესასწავლად სასურველია ორივე ეს მდგრენელი გამოირიცხოს მწკრივიდან.

3. ტრენდის გამორიცხვა და მწკრივის ცენტრირება

ტრენდის გამოსარიცხვად საჭიროა ტრენდის მოდელის აგება. თუ ტრენდს გააჩნია რაიმე თეორიული ასენა, მაშინ ტრენდის მოდელირება ხდება ამ თეორიის საფუძველზე. სხვა შემთხვევაში ხდება ტრენდის აპროქსიმაცია რომელიმე ემპირიული ფუნქციის საშუალებით. ტრენდის მოდელის პარამეტრები განისაზღვრებიან უმცირეს კვადრატთა მეთოდით. შემდეგ ხდება ტრენდის მნიშვნელობების გამორკლება საწყისი დროითი მწკრივის მნიშვნელობებიდან. ამ პროცესის მარტივ შემთხვევას წარმოადგენს მწკრივის მუდმივი

მდგენელის გამორიცხვა დროითი მწერივის
ცენტრირებით:

$$\tilde{x}_k = x_k - m ,$$

სადაც m საშუალო არითმეტიკულია:

$$m = \frac{1}{N} \sum_{ik=1}^N x_k .$$

სანამ ვეივლები-გარდაქმნას გამოვიყენებდეთ სასურველია დროითი მწერივის სპექტრული ანალიზის ჩატარება ფურიეს გარდაქმნის გამოყენებით.

4. ფურიეს გარდაქმნა.

განისაზღვრება ფურიეს დისკრეტული გარდაქმნა:

$$X_k = \Delta t \sum_{n=1}^N \tilde{x}_n \exp\left\{-j \frac{2\pi kn}{N}\right\}, \quad k = 1, 2, \dots, N .$$

ამის შემდეგ გამოითვლება სპექტრული სიმკვრივის ფუნქციის შეფასება:

$$G_k = \frac{1}{N^2} \left[(\text{Re } X_k)^2 + (\text{Im } X_k)^2 \right], \quad k = 1, 2, \dots, \frac{N}{2} .$$

სპექტრული სიმკვრივის მნიშვნელობები შეესაბამებიან

$$f_k = \frac{k}{\Delta t N}, \quad k = 1, 2, \dots, \frac{N}{2}$$

სიხშირეებს. k -ს მნიშვნელობები აიღება $\frac{N}{2}$ -მდე იმიტომ,

რომ ის შეესაბამება ნაიკვისტის სიხშირეს.

შენიშვნა: ჩვენ აქ არ განვიხილავთ სპექტრის განსაზღვრის ცდომილებებს და მათი შენცირების მეთოდებს.

5. ვეივლები-გარდაქმნის გამოთვლა
დისკრეტული ვეივლები-გარდაქმნა გამოითვლება
შემდეგი ფორმულებით:

$$W(a_i, b_j) = \frac{1}{n(a_i, b_j)} \sum_{k=1}^N \tilde{x}_k y \left(\frac{t_k - b_j}{a_i} \right) ,$$

სადაც

$$n(a_i, b_j) = \sum_{k=1}^N \exp \left\{ -\frac{1}{B} \left(\frac{t_k - b_j}{a_i} \right)^2 \right\}$$

თუ $y(t)$ გეივლეტად შევარჩევთ მორლეს გეივლეტს, მაშინ $B = a^2$.

6. გეივლეტის არგუმენტების დისკრეტიზაცია ერთეულ გეივლეტს გააჩნია საკუთარი ფორმა და ზომა, რომელიც მასშტაბის ფიქსირებულ მნიშვნელობის დროს განისაზღვრება შემდეგნაირად:

$$d_0 = 2\Delta_t a ,$$

სადაც Δ_t გეივლეტის რადიუსია. თუ ჩავთვლით დროითი მწვრთვის დისკრეტიზაციის ინტერვალს $\Delta t = const$, მაშინ პოლიპარმონიული პროცესის პარმონიკის პერიოდების დიაპაზონი განისაზღვრება $P_{max} = 2\Delta t$ და $P_{min} = N\Delta t$ მნიშვნელობებით. აქედან გამომდინარე, შევარჩიოთ გეივლეტის ზომისა და პარმონიული კომპონენტების გათვალისწინებით სამაშტაბო კოეფიციენტების მნიშვნელობები.

$$P_{min} = 2\Delta_t a_{min} ; \quad P_{max} = 2\Delta_t a_{max} ,$$

აქედან

$$a_{max} = \frac{\Delta t}{\Delta_t} ; \quad a_{min} = \frac{N\Delta t}{2\Delta_t} .$$

მორლეს გეივლეტისათვის გვექნება:

$$a_{min} = \frac{2\Delta t}{a} ; \quad a_{max} = \frac{N\Delta t}{a} .$$

შემოვიტანოთ a მასშტაბის დისკრეტიზაციის ინტერვალი

$$\Delta a = \frac{a_{max} - a_{min}}{N_a} ,$$

მაშინ $a_i = a_{min} + \Delta ai$, $i = 1, 2, \dots, N_a$.

ეხლა განვიხილოთ b ძვრის დისკრეტიზაცია. მარტივ შემთხვევაში ძვრის დიაპაზონის საზღვრები განისაზღვრებიან შემდეგნაირად:

$$b_{min} \geq 0 ; \quad b_{max} \leq N\Delta t .$$

ამ შემთხვევაში ძვრის დისკრეტული ნიშვნელობები განისაზღვრებიან ფორმულით:

$$b_j = b_{\min} + \Delta b j, \quad j = 1, 2, \dots, N_b,$$

სადაც Δb ძვრის დისკრეტიზაციის ინტერვალია, რომელიც ასე განისაზღვრება:

$$\Delta b = \frac{b_{\max} - b_{\min}}{N_b}.$$

7. სკალოგრამის განსაზღვრა

$$S(a_i, b_j) = |W(a_i, b_j)|^2$$

8. სკელეტონის განსაზღვრა

$$S_c(a_i, b_j) = \begin{cases} S_{ij}, & \text{როცა } S_{i-1,j} < S_{ij} > S_{i+1,j} \\ & \text{ან } S_{i,j-1} < S_{ij} > S_{i,j+1} \\ 0, & \text{სხვა შემთხვევაში} \end{cases}$$

9. სიგნალის გამოყოფა ხმაურიდან

$$S(a_j, b_j) = \begin{cases} S(a_i, b_j), & S(a_i, b_j) \geq s_0^2 Z(a_i, b_j) T_a \\ 0, & S(a_i, b_j) < s_0^2 Z(a_i, b_j) T_a \end{cases},$$

სადაც

$$Z(a_i, b_j) = \frac{1}{n^2(a_i, b_j)} \sum_{k=1}^N \exp \left\{ -\frac{2}{a^2} \frac{t_k - b_j}{a_i} \right\} \quad (4.1)$$

ზოგჯერ უფრო მოსახერხებელია სიგნალის გამოყოფა არა სკალოგრამიდან, არამედ სკელეტონიდან. ამ შემთხვევაში (4.1) ფორმულის მარჯვენა მხარეს $S(a, b)$ მაგივრად უნდა გამოვიყენოთ $S_c(a, b)$.

10. სკელოგრამის განსაზღვრა

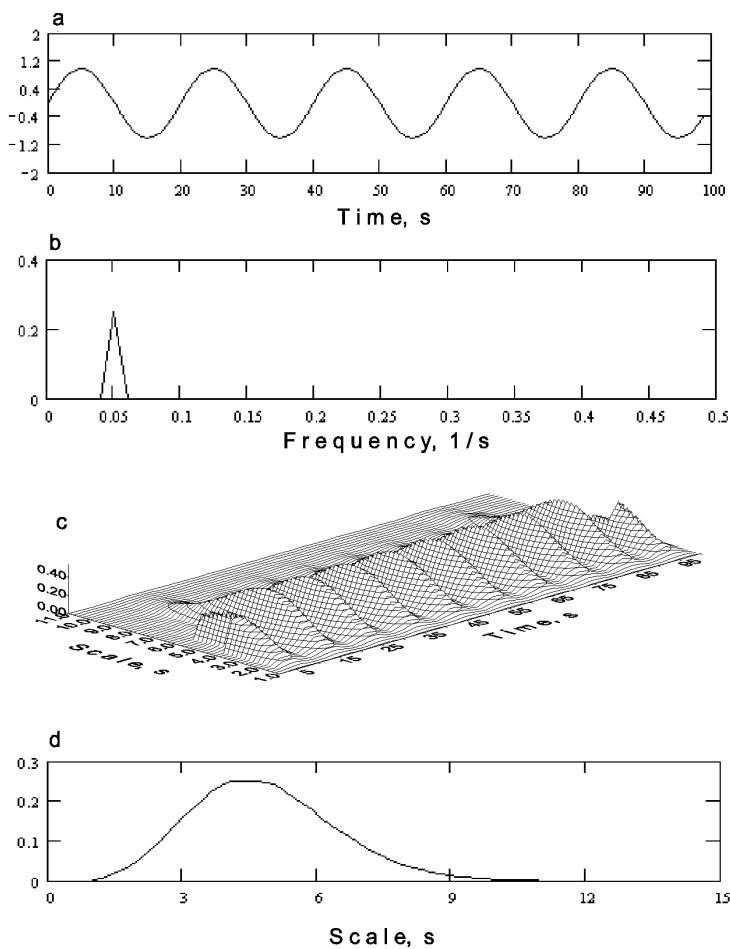
$$G_i = \frac{1}{N_b} \sum_{j=1}^{N_b} S(a_i, b_j) \quad i = 1, 2, \dots, N_a.$$

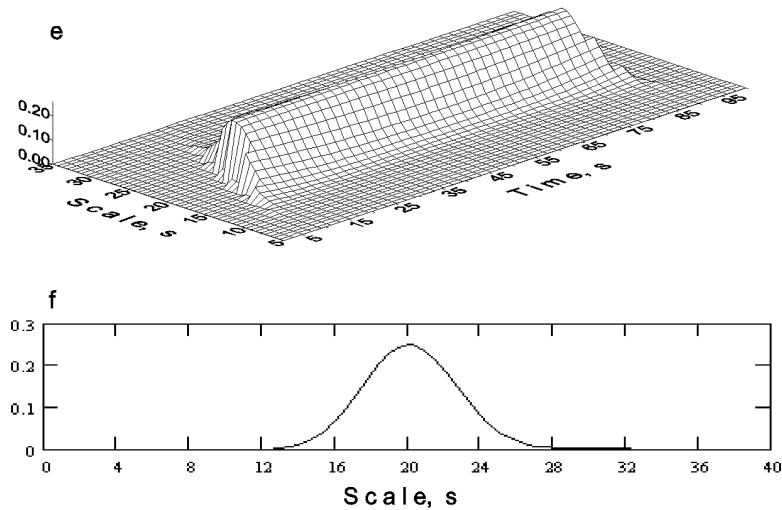
11. ალგორითმის დასასრული.

5 მოდელური ფუნქციების ვეივლეტ-ბარდაქმნა

5.1 სინუსოიდა

ნახ. 5.1a წარმოდგენილია $T=20$ წმ პერიოდის ($f=0,05\text{Hz}$) სინუსოიდა, რომელიც მოცემულია $\Delta t=1$ ბიჯით ($N=100$). მისი ფურიეს გარდაქმნა ნაჩვენებია ნახ. 5.1b. ვეივლეტ-გარდაქმნისათვის გამოყენებული იყო მორდეს და *MHAT*-ვეივლეტები. როგორც ნახ. 5.1c ჩანს, *MHAT*-ვეივლეტი გვაძლევს სკალოგრამას (ნახ. 5.1c), რომელიც წარმოდგენილია სამგანზომილებიან სივრცეში და შედგება ამოზნექილი ზედაპირებით, რომლებიც ერთმანეთის მიმართ მდებარეობენ 10 წმ ინტერვალით. ეს იმით აისხება, რომ გრაფიკზე წარმოდგენილ პოლიპარმონიული ფუნქციის მახასიათებელ დეტალს წარმოადგენს სინუსოიდის ამოზნექილობა და ჩაზნექილობა ანუ რხევის ნახევარი პერიოდი. ამის საწინაღმდეგოს წარმოადგენს მორდეს ვეივლეტი, რომელსაც გააჩნია ჰარმონიული რხევა (თუმცა მიღევადი) და რომელიც დროით მწერივში არჩევს რხევის მთელ პერიოდს. ამით აისხება სინუსოიდის მახასიათებელი ფორმა, რომელიც წარმოდგენილია სკალოგრამაზე (a,b,c) კორდინანტებში (ნახ. 5.1c) და რომელიც წააგავს მთის ფორმას. სინუსოიდის სკალოგრამის ასეთი წარმოდგენა შეესაბამება ფურიეს გარდაქმნას, ამიტომ მორდეს ვეივლეტის გამოყენება უფრო მიზანშეწონილია ჰარმონიული რხევის ანალიზისათვის, ვიდრე *MHAT*-ვეივლეტისა. ნახ. 5.1f ნაჩვენებია მორდეს ვეივლეტის სკეილოგრამა, სადაც მკაფიოდ წარმოდგენილია სინუსოიდა $T=20$ პერიოდით.



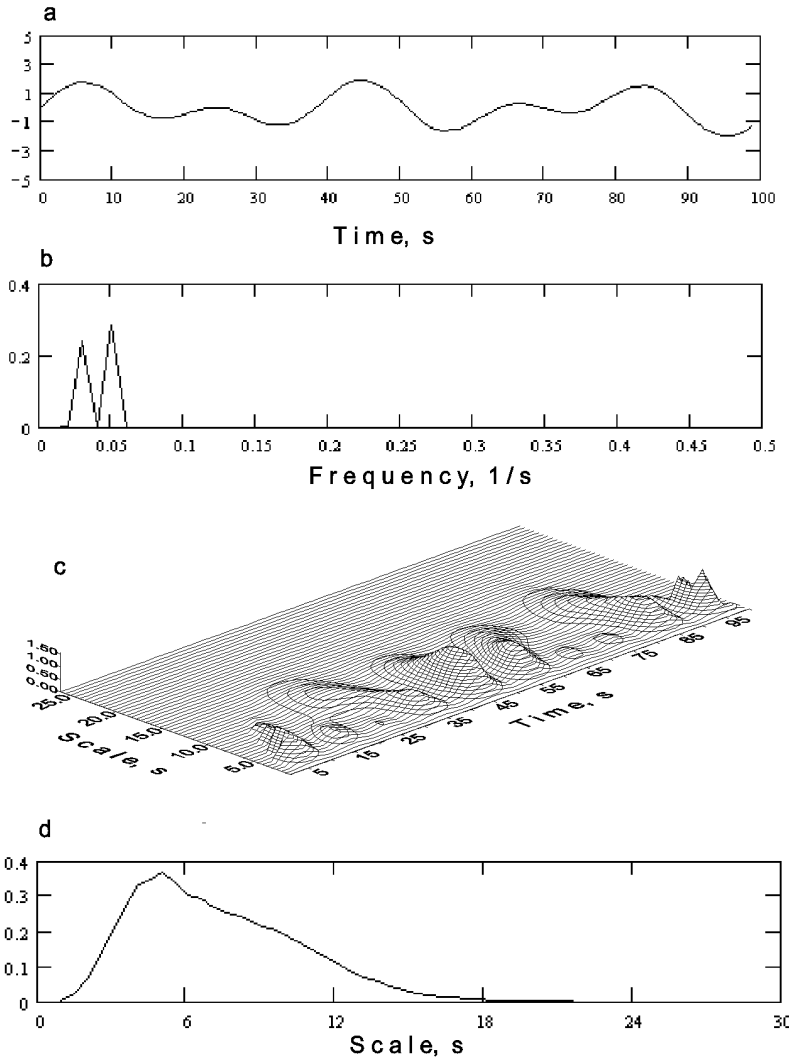


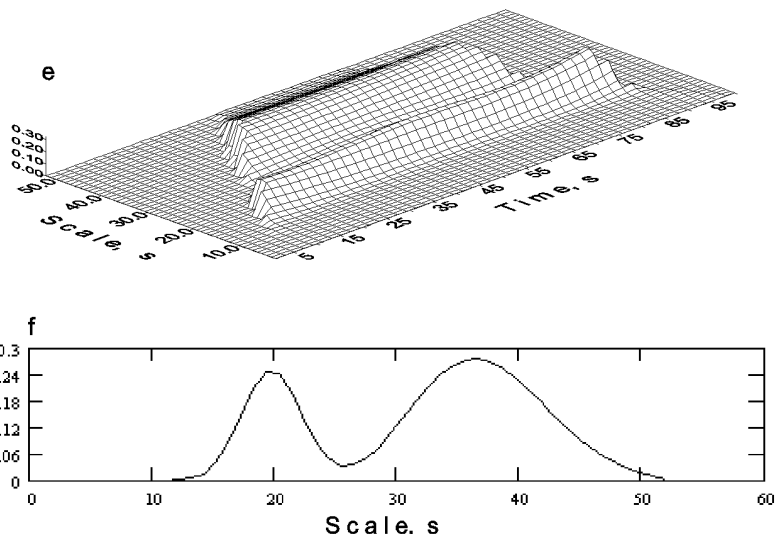
ნახ. 5.1

5.2 ორი სინუსოიდის ჯამი

მოცემულია დროითი შრერივი (ნახ. 5.2a), რომელიც წარმოადგენს ორი სინუსოიდის პერიოდებით $T_1 = 20$ და $T_2 = 35$; $\Delta t = 1$, $n = 100$, ჯამს. მისი ფურიეს გარდაქმნა ნაჩვენებია ნახ. 5.2b. აქაც ვეივლებ-გარდაქმნისათვის გამოყენებული იყო მორლეს და *MHAT*-ვეივლებები. ადვილი შესამჩნევია, რომ *MHAT*-ვეივლებით მიღებული სკალოგრამა (ნახ. 5.2c) და სკეილოგრამა (ნახ. 5.2d) ვერ უზრუნველყოფენ საწყისი სიგნალის ორი კომპონენტის გამოყოფას, მიუხედავად იმისა, რომ მათი პერიოდები მნიშვნელოვნად განსხვავდებიან ერთმშენეთისაგან. ეს ფაქტი იმით აიხსნება, რომ *MHAT*-ვეივლებს გააჩნია

დროით არეში ძლიერი ლოკალიზაცია, რის გამოც დაბალია სიხშირულ არეში გარჩევადობის ხარისხი.





ნახ. 5.2

რაც შეეხება მორლეს ვეივლეტს, რომელსაც დროით არეში არც ისეთი ძლიერი ლოგალიზაცია გააჩნია მისი გამოყენება უფრო მიზანშეწონილია, რადგან როგორც სკალოგრამიდან (ნახ. 5.2e) ასევე სკეილოგრამიდან (ნახ. 5.2f) ჩანს საწყისი სიგნალის ორივე პერიოდი მკვეთრად არიან გამოყოფილნი. ეს იმით აისხება, რომ მორლეს ვეივლეტი, *MHAT*-ვეივლეტთან შედარებით, უფრო ნაკლებად არის დოკალიზირებული დროით არეში და ამიტომ $a^2 = 2$ მნიშვნელობის დროს მისი გარჩევადობა სიხშირულ არეში მეტია ვიდრე *MHAT*-ვეივლეტისა. მიუხედავად ამისა, შეიძლება შეიქმნას ისეთი სიტუაცია, როცა სიგნალის სიხშირეები ახლოს არიან ერთმანეთთან და ვერ მოხდეს მათი გარჩევა

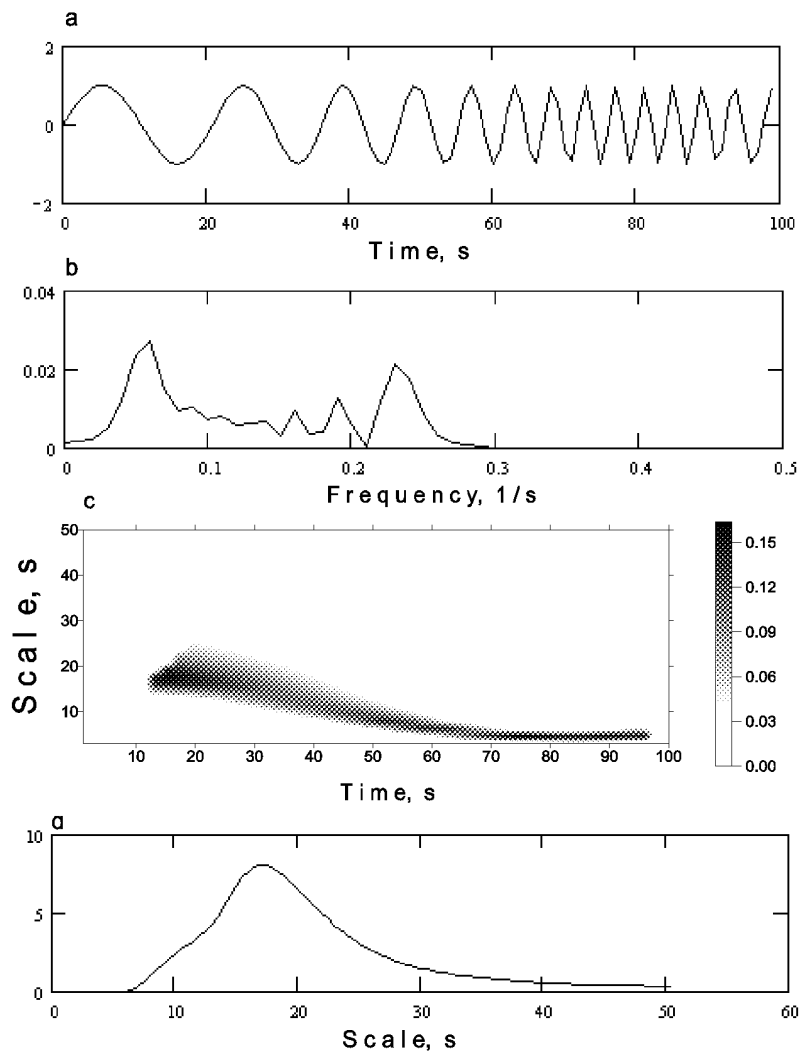
მორლეს ვეივლეტით $a^2 = 2$ სტანდარტული მნიშვნელობით. ასეთ სიტუაციაში a პარამეტრის მნიშვნელობა უნდა გავზარდოთ. ამით ჩვენ ვამცირებთ ვეივლეტ-გარდაქმნის დროით გარჩევადობას, რადგან იზრდება სიხშირული გარჩევადობა.

განხილული მაგალითებიდან ჩანს, რომ დროით მწერივისათვის უფრო მიზანშეწონილია მორლეს ვეივლეტის გამოყენება.

5.3 ცვლადპერიოდიანი სინუსოიდა

ზემოდ მიყვანილი მაგალითები გვიჩვენებენ, რომ რეგულარული სიგნალის ვეივლეტ-გარდაქმნა არ იძლევა ახალ ინფორმაციას ფურიეს გარდაქმნასთან შედარებით. სიტუაცია მკვეთრად იცვლება, როცა სიგნალის პარამეტრები დროში იცვლებიან. ნახ. 5.3a წარმოდგენილია სინუსოიდა, რომლის პერიოდი თანდათან მცირდება დროის დერძის მიმართ. ასეთი სინუსოიდის ფურიეს გარდაქმნა (ნახ. 5.3b), სკალოგრამა (ნახ. 5.3c) და სკეილოგრამა (ნახ. 5.3d) განსაზღვრილია მორლეს ვეივლეტის საშუალებით.

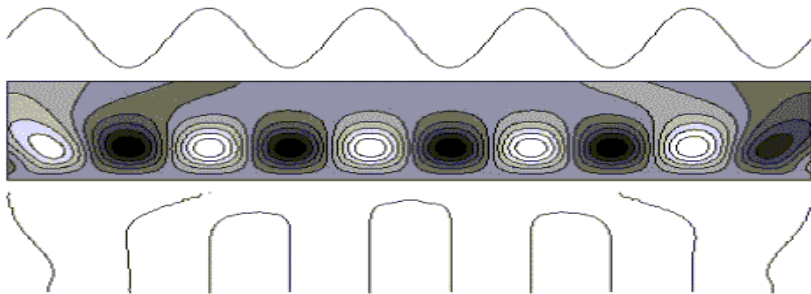
როგორც ნახაზიდან ჩანს, ფურიეს გარდაქმნა გვაძლებს პერიოდოგრამას, რომლის სიმძლავრის პიკები გაბნეულია სიხშირის ფართო დიაპაზონში, მაშინ როდესაც ვეივლეტ-გარდაქმნის სკალოგრამა მკაფიოდ გვიჩვენებს პერიოდის დრეიფს დროის დერძის გასწვრივ.



65b. 5.3

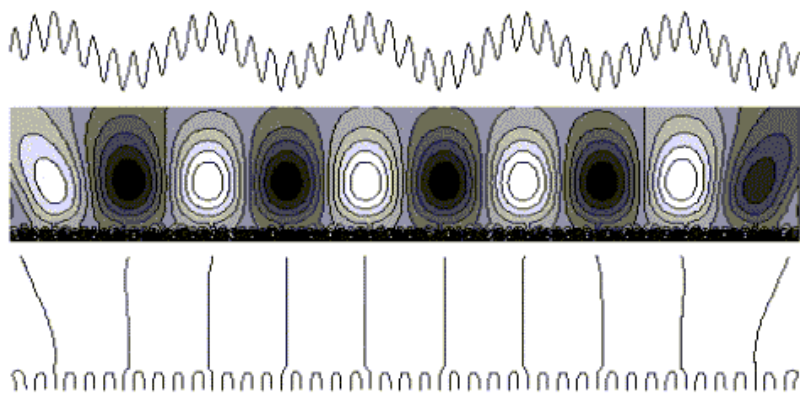
5.4 სკალოგრამის წარმოდგენა ტოპოგრაფიული რუკის საშუალებით

ეხლა განვიხილოთ ვეივლეტ-გარდაქმნა, სადაც სკალოგრამა წარმოდგენილია ტოპოგრაფიული რუკის საშუალებით. ქვემოდ მოყვანილ მაგალითებში ვეივლეტ-გარდაქმნებში გამოყენებული იყო *MHAT*-ვეივლეტი.



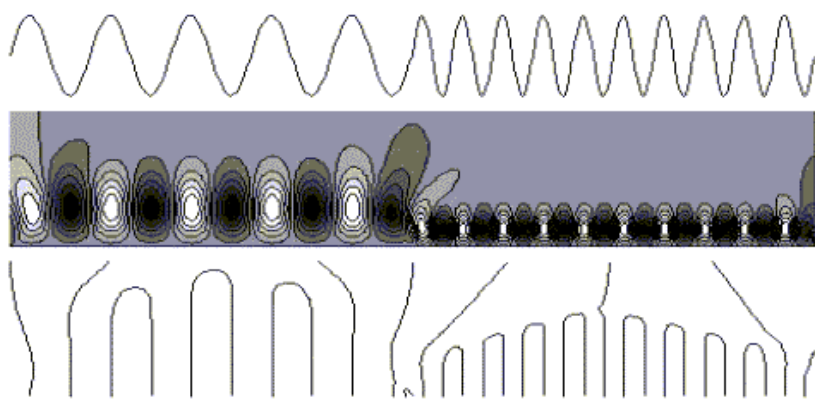
ნახ. 5.4

ნახ. 5.4 წარმოდგენილია სინუსოიდის ვეივლეტ-გარდაქმნის შედეგი, რომლის ზედა ნაწილში მოცემულია საწყისი სიგნალი, შუაში მდებარეობს ვეივლეტ-გარდაქმნის სკალოგრამის ტოპოგრაფიული რუკა და ნახაზის ქვედა ნაწილში სკელეტონი. სკალოგრამის ტოპოგრაფიულ რუკაზე მკაფიოდ ჩანს სინუსოიდის მაქსიმუმების (თეთრი ფერი) და მინიმუმების (შავი ფერი) თანმიმდევრობა. მაქსიმუმების და მინიმუმების არეების საზღვრები ემთხვევიან სინუსოიდის ნულოვან მნიშვნელობებს. სკელეტონებს შორის მუდმივი მანილი მიუთითებს სიგნალის სინუსოიდალურ ხასიათზე. დასაწყისში და ბოლოში სკელეტონები დამახინჯებულია, რაც გამოწვევულია კიდური ეფექტით.



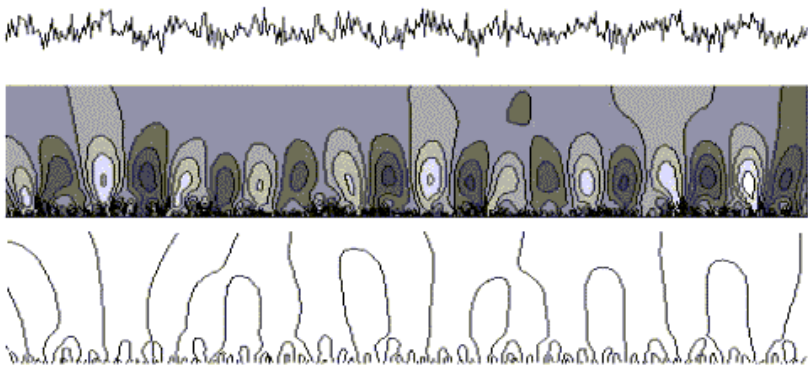
ნახ. 5.5

ნახ. 5.5 წარმოდგენილია ორი სინუსოიდის ჯამისაგან შედგენილი სიგნალის ვეივლეტ-გარდაქმნა.



ნახ. 5.6

ნახ. 5.6 ნაჩვენებია ცვლადპერიოდიანი სინუსოიდის ვეივლებ-გარდაქმნა.

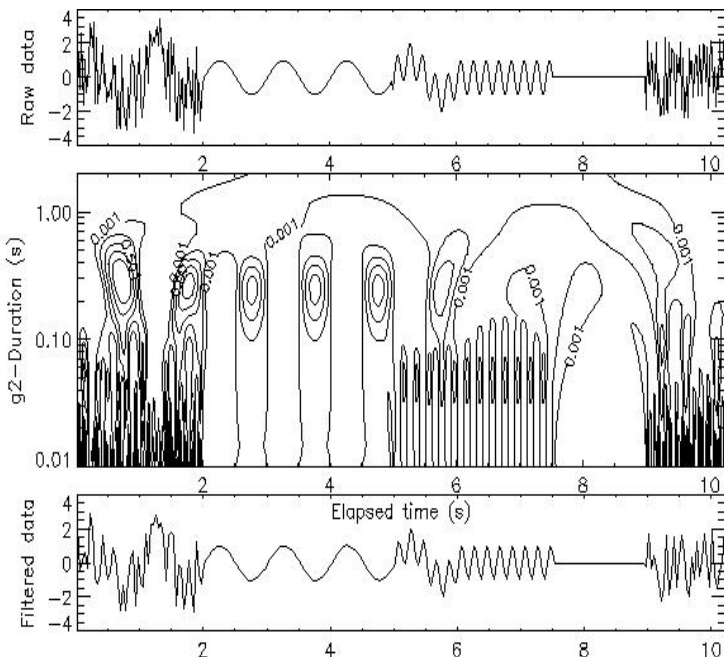


ნახ. 5.7

ნახ. 5.7 წარმოდგენილია სინუსოიდისა და შემთხვევითი მონაცემების ჯამისაგან შემდგარი სიგნალის ვეივლებ-გარდაქმნის შედეგი.

5.5 უკუ ვეივლებ-გარდაქმნა

ისევე რიგორც ფურიეს გარდაქმნის დროს, უკუ ვეივლებ-გარდაქმნა სიგნალს სრულად აღადგენს. მაგალითისათვის განვიხილოთ შერეული სიგნალი, რომელიც შედგება გადაუკვეთავი სხვადასხვა სიხშირის სინუსოიდებისაგან და შემთხვევითი ხმაურისაგან (ნახ. 5.8).



ნახ. 5.8

როგორც ნახაზიდან ჩანს, სიგნალი თითქმის აღსდგა მაღალსიხშირიანი ნაწილის გამოკლებით. იმისათვის, რომ სიგნალის ხმაური მთლიანად იყოს აღდგენილი, საჭიროა სკალოგრამის „გაფართოება“ მოკლე პერიოდიანი მდგენელების მიმართულებით.

როგორც ზემოდ იყო ნაჩვენები, უკუ ვეივლებ-გარდაქმნა ფართოდ გამოიყენება სიგნალების დამუშავებაში, კერძოდ სიგნალის ფილტრაციისათვის (იხ. §3.2).

გამოყენებული ლიტერატურა

1. Вытязев В.В. Вейвлет–анализ временных рядов. Учеб. пособие. СПб. 2001
2. Новиков Л.В. Основы вейвлет–анализа сигналов. СПб, 1999
3. Дремин И.М. и др. Вейвлеты и их использование. Успехи Физических наук, т.171, М., 2001
4. Васильева Л.Г. и др. Преобразования Фурье и вейвлет– преобразования. Их свойства и применение. Вычислительные методы и программирование, т.3, М., 2002
5. Воробьев В.М. Грибунн В.Г. Теория и практика вейвлет– преобразование. СПб, 1999
6. Астафьев Н.М. Вейвлет–анализ: Основы теории и примеры применения. Успехи физических наук, 1996, т.166 №11.
7. Robi Polikar. The Engineers Ultimate Guide to Wavelet Analysis. The Wavelet Tutorial. [http://WWW.hubliec.iastate.edu/rpolikar/WAVELETS/Wtutorial.htm]/